



Hannover, 13. Juni 2003

... \txt\2003\fnr3004.doc

## Abschlußbericht

**Titel:** Einsatz von pflanzlichen Proteinen in Gummimischungen

**FKZ:** 97NR133 bzw. 22013397

**Zielsetzung:** Verbesserung der Haftung von Reifen auf Eis durch Zusatz von pflanzlichen Proteinen in Gummimischungen

**Laufzeit:** 01.09.1998 – 31.10.2002

**Verbundpartner:**

- 1      Continental AG
- 1.1     DMV International Nutritional
- 2      Fraunhofer-Institut für Verfahrenstechnik und Verpackung (IVV) (FKZ 98NR043)
- 3      Universität Potsdam (FKZ 98NR044)
- 4      Universität Bayreuth (FKZ 98NR045)



Dr. Carla Recker  
Strategische Technologie  
Materialforschung  
Telefon 0511/976-3584 Fax -3621  
E-mail carla.recker@conti.de

## KURZFASSUNG

Im Laufe der Projektarbeit wurden bei der Continental eine Vielzahl von Proteinen und -derivaten, die von den Projektpartnern in Zusammenarbeit entwickelt und hergestellt wurden, in Kautschukanwendungen unter systematischer Variation einer Vielzahl von Parametern eingesetzt und die erhaltenen Compounds charakterisiert. Vielversprechende Laboransätze, die in ausreichender Menge herstellbar waren, wurden anschließend in Reifenversuche übertragen. Dabei konnte durch den Einsatz von Proteinen eine Verbesserung der Wintereigenschaften von PKW-Reifen ohne Einbrüche im Abriebwiderstand erzielt werden.

Begleitend wurde versucht, mit Hilfe von Grundlagenuntersuchungen eine Korrelation zwischen charakteristischen Kennzahlen von Protein und Kautschukmischungen abzuleiten. Dieses ist aufgrund der großen Anzahl von Einflußparametern und ihrer Wechselwirkungen im System Kautschukmischung nur eingeschränkt gelungen, allerdings konnten wesentliche Parameter in ihrer Wirkrichtung identifiziert werden.

Die Aufgaben der DMV International Nutritionals umfaßten Bereitstellung von Proteinhydrolysaten unterschiedlicher Natur, wobei die Hydrolyse auch auf Lupinen- und Rapsproteine übertragen und optimiert wurde.



## Inhaltsverzeichnis

1	Ausgangssituation und Problemstellung .....	3
2	Zieldefinitionen .....	4
2.1	Gesamtziel des Vorhabens .....	4
2.2	Wissenschaftliche und technische Arbeitsziele.....	4
2.3	Struktur des Projektverbundes.....	6
3	Arbeitspakete der Continental AG.....	6
3.1	Arbeitspaket 1.....	6
3.2	Arbeitspaket 2.....	7
3.3	Arbeitspakete 3 und 4 .....	7
3.4	Arbeitspaket 5.....	8
3.5	Arbeitspakete DMV International Nutritional .....	8
4	Ergebnisüberblick .....	9
4.1	AP 1: Screening und Validierung.....	9
4.2	Funktionalisierung .....	10
4.3	Compoundierung und Eigenschaftsprüfung.....	11
4.3.1	Rußmischungen .....	11
4.3.2	Silica-Mischungen .....	11
4.4	Emulsions- und Copolymerisation.....	12
4.5	Viskoelastisches Protein.....	12
5	Zusammenfassung und Fazit.....	12
6	Literatur .....	14
7	Anhang.....	14

## 1 Ausgangssituation und Problemstellung

Die Haftung von Reifen ist auf Eis stark vermindert. Ursache hierfür ist bei Temperaturen nahe dem Gefrierpunkt eine hochviskose Wasserschicht, auch "liquid-like layer" genannt, von etwa  $0,1 \mu\text{m}$  Dicke. Bei Temperaturen deutlich unter dem Gefrierpunkt ( $T < -10^\circ\text{C}$ ) ist diese Wasserschicht fast nicht mehr vorhanden. Die Eisoberfläche verhält sich hinsichtlich des Reibungskoeffizienten wie eine trockene Glasoberfläche [1].

Möglichkeiten zur Verbesserung der Haftung bestehen z. B. im Einsatz von gespiketen Reifen, in der Verwendung einer weicheren Kautschukformulierung oder in der Realisierung einer vergrößerten Kontaktfläche. Speziell auf dem europäischen Markt sind diesen Ansätzen jedoch enge Grenzen gesetzt, die einerseits durch das Verbot von Spikereifen, andererseits durch einen deutlich erhöhten Abriebsverlust insbesondere auf schnee- und eisfreier Straße gegeben sind.

Durch Untersuchungen, die u. a. im Hause Continental durchgeführt wurden [2], konnte gezeigt werden, daß die Haftung auf kaltem Eis durch den Zusatz von Proteinen in Gummimischungen verbessert werden kann, jedoch ebenfalls verbunden mit deutlichen Einbußen im Abriebwiderstand. Die technischen Gebrauchseigenschaften neuer (Winter-)Reifenqualitäten und damit auch deren Marktdurchdringung werden hingegen wesentlich von den drei Faktoren Abrieb, Naßgriff und Eisgriff bestimmt.

Das Erschließen dieses Verwertungspotentials für Proteine aus Nachwachsenden Rohstoffen erforderte daher zielgerichtete Maßnahmen. Als wesentliches Merkmal dieses Vorhabens ist die Evaluierung der Verbesserung des Eisgriffverhaltens proteinhaltiger Kautschukformulierungen im Kontext der Faktoren Abrieb, Naßgriff und technisch-ökonomische Realisierbarkeit zu sehen. Die Erarbeitung der Grundlagen der Wechselwirkungen Protein  $\Leftrightarrow$  Kautschuk  $\Leftrightarrow$  Gebrauchseigenschaften stand dabei im Vordergrund.



## 2 Zieldefinitionen

### 2.1 Gesamtziel des Vorhabens

Die Nutzung von Nachwachsenden Rohstoffen ist in den vergangenen Jahren zunehmend in den Mittelpunkt des Interesses gerückt, wobei für diese Entwicklung sowohl ökonomische als auch ökologische Gründe ausschlaggebend sind. Im Rahmen dieses Vorhabens sollten als Gesamtziel nun weitere Möglichkeiten eröffnet werden, die die begrenzte technische Verwendung von Proteinen aus pflanzlichen Nachwachsenden Rohstoffen, die bei bisheriger Nutzung als Nebenprodukt anfallen, zu erweitern. Damit können ggf. Auswege aus Massenbeschränkungen durch alternative Verwertungspfade von proteinreichen Nebenprodukten geschaffen werden, die zudem im Vergleich zu Futtermittelnutzungen einen Beitrag zur Verbesserung der Erlössituation leisten können.

### 2.2 Wissenschaftliche und technische Arbeitsziele

Die wissenschaftlichen und technischen Arbeitsziele dieses Vorhabens sind, die Grundlagen zu erarbeiten, um

- das Potential von pflanzlichen Proteinen (vorzugsweise Raps, Lupine, Weizen, Leinsaat) in Laufstreifenformulierungen zu bewerten (technische Machbarkeit, wirtschaftliche Perspektive),
- geeignete Derivatisierungswege zur Hydrophobierung/Vernetzung und/oder Hydrolyse von Proteinen aufzuzeigen und sie einem industriellen Scale-up zugänglich zu machen (verfahrenstechnische Bewertung) sowie
- die Anbindung derivatisierter pflanzlicher Proteine und/oder geeigneter Hydrolysate an die Kautschukmatrix zu realisieren (reaktionstechnische Ermittlung von Parametern zur Basispolymermodifizierung).

Erst die Kenntnis dieser Grundlagen ermöglicht eine Entscheidung über einen zielführenden Einsatz von pflanzlichen Proteinen in Gummimischungen für Laufstreifen. Im Rahmen des Projektes soll daher ein experimenteller Machbarkeitsnachweis geführt werden, ohne daß eine konkrete Produktentwicklung Gegenstand des Vorhabens ist. Diese kann mit den damit verbundenen

Optimierungen im Rahmen dieses Vorhabens nicht geleistet werden und soll eventuellen Anschlußvorhaben vorbehalten sein.

Aufgrund der Komplexität der Zusammenhänge erscheint auf der Basis des derzeitigen Wissenstandes eine Zuordnung der verschiedenen Arbeiten zu folgenden Entwicklungsansätzen als aussichtsreich:

A) Protein als Füllstoff

Das Protein liegt in der Mischung als quasi-inerte und heterogene Phase vor. Physikochemische Wechselwirkungen, die durch Teilchengröße, Oberflächenstruktur, spez. Teilchenoberfläche, Molekulargewicht, aber auch durch den Einarbeitungsprozeß und/oder der Zugabe reaktiver Kopplungsreagenzien gesteuert werden können, bewirken die Bindung zwischen Protein und Polymer.

B) Kovalent gebundenes Protein ("Pfropfung")

Protein und/oder Kautschuk werden durch chemische Modifizierung (Einbau von funktionellen Gruppen, die miteinander reagieren können) derart verändert, daß eine Bindung der normalerweise unverträglichen Polymere (Protein und Kautschuk) ermöglicht wird.

C) Kautschuk-Protein-Blend ("Copolymerisation/Copräzipitation")

- a) Copolymerisation von Proteinen und Elastomeren führt dazu, daß Proteinkomponenten bereits in die Polymerkette eingebaut werden.
- b) Copräzipitation von Proteinen und Polymeren führt zu einem besseren Verblenden als das mechanische Mischen.
- c) Durch Quellen des Proteins in einem geeigneten Monomeren und anschließende Polymerisation wird ein Durchdringungsnetzwerk (IPN - interpenetrating polymer network) erzeugt.

D) Viskoelastisches Protein:

Einsatz des Proteins als Polymer: Das Protein dient als Teilstoff des Basispolymeren Kautschuk.



Aus der Aufstellung ist zu erkennen, daß eine enge Verknüpfung insbesondere der Teilprojekte B und C vorlag. Die Zuordnung der verschiedenen Arbeitspakete beruhte daher im wesentlichen auf den verschiedenen Prozessen, die für eine Realisierung eingesetzt wurden.

## 2.3 Struktur des Projektverbundes

Aus den o. g. Fragestellungen ergeben sich auch die Anforderungen an die verschiedenen Partner, die zusammen im Rahmen eines Forschungsverbundes die Grundlagen erarbeiten werden. Bild 3.1 verdeutlicht die Zuordnung der strategischen Teilprojekte zu den am Verbund beteiligten Partnern.

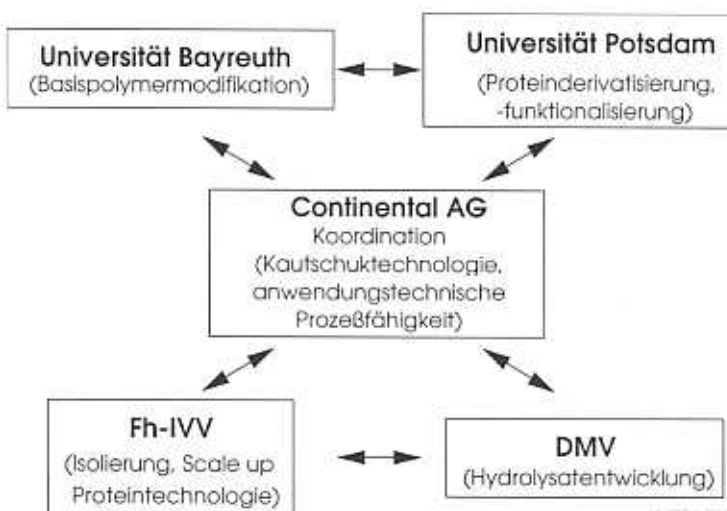


Bild 3.1: Struktur des Verbundvorhabens

Der vorliegende Abschlußbericht umfaßt ausschließlich eine Zusammenstellung der Ergebnisse aus dem Teilvorhaben der Continental AG. Bezüglich der detaillierten Ergebnisse wird auf die entsprechenden Zwischenberichte verwiesen.

## 3 Arbeitspakete der Continental AG

### 3.1 Arbeitspaket 1

Wesentliches Ziel der Screening- und Validierungsphase ist es, zu einer Korrelation der Protein-Compoundeigenschaften auf Basis einer schnell verfügbaren

Rohstoffauswahl zu gelangen. Der Schwerpunkt der Aufgaben der Continental AG lag dabei in der Herstellung von Modellcompounds für die Methodenentwicklung und der Ermittlung des Eigenschaftsspektrums von proteinhaltigen Labormischungen (siehe Kap. 4.1) aus den ausgewählten Rohstoffen.

Als charakteristische Parameter der auszuwählenden Rohstoffe wurden die Partikelgröße (Einfluß des Vermahlungs- und Homogenisierungsprozesses), die Hydrophobie, Dispergierbarkeit, Quellvermögen und Molekulargewicht genannt gesehen. Weitere Summenparameter wie Stickstoffgehalt, Aminosäurezusammensetzung wurden ebenfalls in die Eigenschaftskorrelation einbezogen.

### 3.2 Arbeitspaket 2

Der Beitrag der Continental AG innerhalb dieses Arbeitspaketes lag in der Entwicklung einer Mischermethode zur Hydrophilierung des Kautschukes in enger Zusammenarbeit und Abstimmung mit der Universität Bayreuth. Aufsetzend auf die Ergebnisse an der Universität Bayreuth war die Übertragung auf einen technisch relevanten Prozeß zu untersuchen.

### 3.3 Arbeitspakte 3 und 4

In diesen Teilen des Projektes lag der wesentliche Schwerpunkt der Arbeiten der Continental AG. Entsprechend der Lösungsansätze A bis C sind in umfangreichen Compoundingstudien Mischungen hergestellt, charakterisiert und die (reifen-)relevanten Eigenschaften mit Parametern der Proteinderivate in Beziehung gesetzt worden. Mit Hilfe der Methoden der statistischen Versuchsplanung ist im Rahmen der Mischungsstudien eine Zuordnung von Ursache und Wirkung in nicht einfachen Systemen möglich. Dennoch wurde aufgrund der sehr komplexen Wechselwirkungen zwischen den einzelnen Mischungsbestandteilen in Multi-Polymer- bzw. Multi-Füllstoffblends der Einfluß der Proteine in zunächst vereinfachten Mischungssystemen untersucht, die aus praxisrelevanten Mischungen abgeleitet wurden. Entsprechend der verschiedenen Lösungsansätze sind verschiedene Mischungsverfahren und Substanzklassen (3.1: Phasenvermittler, Kopplungsreagenzien, 3.2: hydrophilierte Kautschuke, Protein(derivat)e, 3.3: Co-gefällte Kautschuk-Protein-Blends, 4.1: Co-gefällte Kautschuk-Protein-Blends, 4.2: Kautschuk-Protein-Copolymer) untersucht worden. Zu berücksichtigen waren



weiterhin Einflüsse durch und auf das Vernetzungssystem und die Vulkanisationsbedingungen.

Vor dem Bau und Test von Reifen sind grundlegende anwendungstechnische und polymerphysikalische Untersuchungen an den Modellvulkanisaten erfolgt, um die Eigenschaftsverbesserungen entsprechend der Zielsetzung frühestmöglich erkennen zu können und die Erfahrungen aus ersten Zyklen direkt auf die Weiterentwicklung der Arbeiten in vorgelagerten Prozeßschritten einfließen zu lassen.

Die am Ende der Untersuchungen stehenden Versuchsreifenprogramme konzentrierten sich auf die Ermittlung des Einflusses der Laufflächenmischung auf die Reifeneigenschaften. Dazu wurde jeweils ein einheitlicher Unterbau (Karkasse, Seitenwand, Gürtel) mit den verschiedenen Laufstreifenmischungen versehen. Entsprechend dem Projektziel standen bei der Untersuchung der Versuchsreifen Wintereigenschaften im Vordergrund. Die Wintereigenschaften wie Schneetraktion, und Eisbremsen müssen in einer eingehenden Charakterisierung der Reifen allerdings ergänzt werden durch die Bestimmung der Naßrutschfestigkeit und des Abriebes. Die Ermittlung der o. g. Reifeneigenschaften erfolgt mit Hilfe von Testfahrzeugen in definierten Testprozeduren mit objektiven und subjektiven Beurteilungen.

### 3.4 Arbeitspaket 5

Der Ansatz D nimmt in diesem Projekt eher eine untergeordnete Position ein, dennoch soll das Potential von plastifizierten Proteinen als (Teil-)Substitut für Kautschuk abgeschätzt werden. Wesentliche charakteristische Parameter sind hier in der Glasübergangstemperatur und der Vernetzbarkeit der Materialien im Anschluß an die Formgebung zu sehen. Die Rohstoffentwicklung und -bereitstellung erfolgt am Fh-IVV, wobei die Entwicklungsrichtungen durch das Anforderungsprofil der Reifencompounds vorgegeben werden. Die Aufgaben der Continental AG orientieren sich auch in diesem Arbeitspaket an dem in 3.3 geschilderten Vorgehen.

### 3.5 Arbeitspakete DMV International Nutritional

Die Aufgaben von DMV International Nutritional innerhalb des Projektes bestanden zunächst in der Bemusterung mit kommerziellen Weizenhydrolysaten und deren Charakterisierung. Im weiteren Verlauf sollten durch chemische Hydrolyse mittels Säuren und Basen bei erhöhten Temperaturen bzw. enzymatische Hydrolyse mit

industriell verfügbaren Enzymen möglicherweise geeignete Hydrolysate für Labor- und ggf. Reifenversuche entwickelt und hergestellt werden. Eingeschlossen war ebenfalls eine umfassende Charakterisierung der verschiedenen Produkte in Zusammenarbeit mit den übrigen Projektpartnern.

## 4 Ergebnisüberblick

### 4.1 AP 1: Screening und Validierung

Zur eindeutigen Charakterisierung der Protein-Kautschuk-Wechselwirkungen sind in Grundsatzprogrammen Untersuchungen zur Bestimmung der Füllstoffaktivität der verschiedenen bemusterten Proteine durchgeführt worden. Die Mischungen wurden zur Charakterisierung der Füllstoffaktivität durch physikalische und dynamisch-mechanische Untersuchungen charakterisiert. Ebenfalls mit einbezogen in die Untersuchungen wurden verschiedene Stärkederivate in Anlehnung an ein Patent der Goodyear [3], wonach Stärke-Weichmacher-Compounds als aktive Füllstoffe einsetzbar sein sollen.

Die Interpretation der Ergebnisse (Anlage 1 – 6) zeigte eindeutig, daß die eingesetzten Proteine und Stärkederivate als inaktive Füllstoffe zu klassifizieren sind. Leicht erhöhte Füllstoffaktivität zeigt sich für die Weizenhydrolysate im Vergleich zu nichthydrolysierten Proteinen. Die übrigen umfangreichen Parametervariationen haben im Vergleich zu üblichen Füllstoffen wenig Einfluß auf die Füllstoffeigenschaften, allerdings erscheint eine Erhöhung der Aktivität durch den Einsatz geeigneter Kopplungsreagenzien (Silane, reaktiv modifizierte niedrigmolekulare Polymere) möglich. Hingegen ist die Füllstoffverteilung in polaren Kautschuken bei Betrachtung von Glattschnitten gleichmäßiger im Vergleich zu unpolaren Matrices [4].

Im Projektverlauf sind für die Korrelation der verschiedenen Kennzahlen (Anlage 7) die folgenden qualitativen Zusammenhänge abgeleitet worden:

- Zu großes Molekulargewicht scheint negativen Einfluß zu haben.
- Die Verringerung des Molekulargewichtes eines Proteins hat positive Auswirkungen, insbes. bei Ausgangsproteinen mit hohem Molekulargewicht.
- Im Vergleich zu aktuellen realen Winter-Laufstreifenmischungen (Winter Ruß und Winter Silica) wird ein vergleichbares Niveau erzielt.
- Proteine aus Ölsaaten scheinen vorteilhaft, ein hoher Ölgehalt ist nicht schädlich.



- Die Partikelgröße / Konfektion der Protein(-derivate) muß eine gute Verteilbarkeit in der Kautschukmischung gewährleisten (kleine Partikel).
- Trotz erhöhter Härte zeigen die proteinhaltigen Mischungen im Vergleich zur proteinfreien Referenzmischung z. T. verbesserte Eigenschaften im signifikanten Bereich (Anlage 8, der Unterschied zwischen Winter Ruß und Winter Silica ist signifikant!).

Korrelationen zwischen dem Verhalten in Kautschukmischungen und weiteren proteinspezifischen Parametern konnten nicht identifiziert werden.

## 4.2 Funktionalisierung

Im Rahmen dieser Arbeitspakete sind insbesondere die Arbeiten zur Kautschukmodifikation an der Universität Bayreuth durchgeführt worden [10]. Auf Basis der entwickelten „Grafting-from“-Methode, bei dem einem modifizierten Protein im Polymerisationsprozess die Funktion des Initiators übertragen wird, sollte durch Einsatz des von der Uni Bayreuth zur Verfügung gestellten Proteininitiators in einer Kautschukmischung in einem Mischungsprogramm im Vergleich zu einem unmodifizierten Protein untersucht werden. Trotz umfangreicher Untersuchungen der Mischbedingungen wurde kein prozeßfähiger Compound erhalten, da in allen Fällen bereits während des Mischprozesses aufgrund der vorliegenden Temperaturbedingungen eine starke Vernetzung der Mischung einsetzte. Auf eine weiterführende Charakterisierung wurde daher verzichtet.

Ein weiterer Schwerpunkt in diesem Arbeitspaket waren neben den Arbeiten der Universität Potsdam [12] die Arbeiten der DMV International Nutritionals, die insbesondere die Hydrolyse von Raps- und Lupinenproteinen umfaßten. Dabei wurden zunächst in einem Screening die Hydrolysebedingungen auf Raps- und Lupinenproteine übertragen und die Produkte charakterisiert (Anlage 9 – 12). In einer zweiten Schleife wurden optimierte Proteinhydrolysate hergestellt (Anlage 13) und in die Compoundierung einbezogen (Kap. 4.3), ebenso wie in den abschließenden Reifenversuch (Anlage 14, Kap. 4.3.2).

Weiterhin wurden verschiedene Hydrolysate für die Universität Bayreuth bereitgestellt, die für die Anforderungen bzgl. weiterer chemischer Modifizierung besonders geeignet schienen [10].



## 4.3 Compoundierung und Eigenschaftsprüfung

### 4.3.1 Rußmischungen

Als erster Schritt wurden im Verlauf des Modellcompoundings [5, 6] die Versuche ausgewählten kommerziell erhältlichen Proteinqualitäten durchgeführt. Die Muster werden zunächst in einem Modellcompound untersucht, in dem zur Vermeidung unübersichtlicher Wechselwirkungen insbesondere auf das Verschneiden verschiedener Polymere und den Zusatz von Ölen verzichtet wurde (Anlage 15).

Die Untersuchung der einzelnen Proteinmuster erfolgte im wesentlichen auf Basis statistischer Versuchspläne, in denen ihr Einsatz in erster Linie als Füllstoff erfolgte, wobei übliche Aktivatoren für polare Füllstoffe in die Untersuchung eingebunden werden (Anlagen 16 – 22).

Eine übergreifende zufriedenstellende Korrelation von Proteinkennzahlen mit den Mischungseigenschaften ist dabei nicht gelungen (s. Kap. 4.1). Durch den Zusatz der Proteine zu den Kautschukmischungen wurde als einem wesentlichen Parameter die Härte des Compounds beeinflußt, die ihrerseits wiederum die griffbestimmenden Eigenschaften beeinflußt. Betrachtet man in den vorliegenden Ergebnissen in der statistischen Auswertung dementsprechend die Mischungshärte als Einflußfaktor, so dominiert sie alle anderen Proteinparameter in ihrer Signifikanz, d. h. es gibt aus diesen Untersuchungen keine signifikante Korrelation zwischen Protein- und Mischungsparametern bzgl. Griffeigenschaften (beispielhaft Anlage 23). Allerdings zeigten trotz erhöhter Härte die proteinhaltigen Mischungen im Vergleich zur proteinfreien Referenzmischung z. T. verbesserte Laboreigenschaften im signifikanten Bereich (Der Unterschied zwischen Winter Ruß und Winter Silica ist signifikant!) (s. Anlage 8).

Abgeleitet aus diesen Untersuchungen wurden Mischungen mit angepaßter Härte, die auch die Grundlage für den ersten Reifenversuch bildeten [4, 7] (Anlage 24). Innerhalb dieses Versuchsprogrammes wurden die Ergebnisse der Laborversuche bzgl. Wintereigenschaften bestätigt (Anlage 25 – 28). Dabei ist zu berücksichtigen, daß, obwohl die Shore-Härte der Reifenmischungen leicht unterschiedlich war, proteinhaltige Mischungen vorteilhafte Winterperformance aufweisen (Anlage 27 u. 28).

### 4.3.2 Silica-Mischungen

Die Ergebnisse der ersten kompletten Versuchsschleife wurden anschließend in ein anwendungsnahe Mischungskonzept übertragen. Dazu wurde aufgrund der



Versuchsergebnisse auf verschiedenste Raps- und Lupinenproteinqualitäten fokussiert, die auch Hydrolysate umfaßten, in die Versuchsreihen einbezogen [8, 9]. Als weiterer Parameter wurde die Korngrößenverteilung der Muster variiert, die analytischen Daten sind in [11] zusammengestellt (Anlagen 29 bis 33). Aus den umfangreichen Mischungsprogrammen wurden wiederum Compounds für den abschließenden Reifenversuch abgeleitet, die Ergebnisse sind in den Anlagen 34 und 35 zusammengestellt. Sie zeigen, daß es durch den Einsatz von Proteinen eine Verbesserung der Wintereigenschaften von PKW-Reifen ohne schwerwiegenden Einbruch des Abriebwiderstandes erzielt werden kann.

#### 4.4 Emulsions- und Copolymerisation

Im Rahmen dieser Arbeitspakete sind zunächst die Arbeiten an der Universität Bayreuth durchgeführt worden. Aufgrund der stark unterschiedlichen Lösungseigenschaften ist eine erfolgreiche Copolymerisation von Proteinen mit Monomerbausteinen zur Elastomerherstellung nicht erfolgreich gewesen [10].

#### 4.5 Viskoelastisches Protein

Die im Rahmen dieser Arbeitspakete hergestellten Muster seitens FhG-IVV hatten aufgrund ihres Thermoplast-Charakters keine Elastomereigenschaften und konnten daher nicht – wie ursprünglich vorgesehen – als Kautschuksubstitut in eine Kautschukmischung eingebbracht werden. Die entsprechenden Protein-Weichmacher-Compounds wurden analog zu einem Ansatz von Goodyear [3] ebenfalls als modifizierter Füllstoff in Kautschukmischungen eingesetzt. Ein vollständiger Ersatz des Füllstoffes durch diese Derivate war nicht möglich [7], da eine homogene Verteilung nicht erzielt werden konnte. Die Bewertung der Laborergebnisse beim partiellen Füllstoffersatz zeigt im Vergleich zum nicht-plastifizierten Protein vergleichbare Ergebnisse [9] (Anlagen 33, 37 und 38).

### 5 Zusammenfassung und Fazit

Das Projekt ist angetreten, um als wissenschaftliches und technisches Arbeitsziele die Grundlagen zu erarbeiten, um



- das Potential von pflanzlichen Proteinen (vorzugsweise Raps, Lupine, Weizen, Leinsaat) in Laufstreifenformulierungen zu bewerten
- geeignete Derivatisierungswege zur Hydrophobierung/Vernetzung und/oder Hydrolyse von Proteinen aufzuzeigen und sie einem industriellen Scale-up zugänglich zu machen (verfahrenstechnische Bewertung) sowie
- die Anbindung derivatisierter pflanzlicher Proteine und/oder geeigneter Hydrolysate an die Kautschukmatrix zu realisieren.

Zur Zielerreichung wurden die folgenden vier Strategien entwickelt und evaluiert:

- A) Protein als Füllstoff
- B) Kovalent gebundenes Protein ("Pfropfung")
- C) Kautschuk-Protein-Blend ("Copolymerisation/Copräzipitation")
- D) Viskoelastisches Protein

Das Teilprojekt der Continental AG umfaßte dabei im wesentlichen den Einsatz der unterschiedlichen Proteinderivate in Kautschukmischungen zur Aufklärung der Wechselwirkungen zwischen Protein- und Compoundeigenschaften sowie die Validierung der Laborergebnisse in ersten Reifenversuchen.

Der Schwerpunkt der Arbeiten lag bei der Continental AG auf der Strategie A. Im vorliegenden Projekt konnte gezeigt werden, daß beim Einsatz von Proteinen als Füllstoff ein deutliches Potential zur Eigenschaftsverbesserung zu erkennen ist. Allerdings sind die Proteine in aller Regel als nicht-verstärkende Füllstoffe zu klassifizieren, eine Anbindung mit unterschiedlichen Kopplungsreagenzien in Anlehnung an die Silicatechnologie kann jedoch die Aktivität erhöhen. Die Industrialisierbarkeit ist bei Zugänglichkeit geeigneter Proteinqualitäten, die

- ein niedriges (natives) Molekulargewicht,
- ggf. eine Verringerung des Molekulargewichtes, insbes. bei Ausgangsproteinen mit hohem Molekulargewicht,
- eine Herkunft aus Ölsaaten (Raps, Lupine),
- ggf. einen höheren Ölgehalt,
- eine Partikelgröße / Konfektion der Protein(-derivate), die eine gute Verteilbarkeit in der Kautschukmischung gewährleistet (kleine Partikel)

aufweisen, aus heutiger Sicht durchaus relativ zeitnah möglich, allerdings sind dazu noch weitere Versuche und Anpassungen im konventionellen Reifenbauprozess erforderlich.

Der Schwerpunkt der Arbeiten bei DMV International Nutritionals lag in der Herstellung von geeigneten Hydrolysaten. Für die Hydrolyse von Raps- und Lupinenproteinen sind geeignete Prozeßbedingungen entwickelt worden und im Scale-up bis in den Technikumsmaßstab übertragen worden.

In den übrigen Strategien sind umfangreiche Arbeiten bei den Projektpartnern durchgeführt worden. Die abgeleiteten Erkenntnisse sind in den entsprechenden Abschlußberichten detailliert dargestellt. Der Versuch einer kovalenten Proteinanbindung durch einen Proteininitiator während des Mischprozesses ist leider nicht gelungen. Ebenso zeigen die Laboruntersuchungen der plastifizierten Proteine keine weiteren Vorteile gegenüber einem Einsatz entsprechend der Strategie A.

## 6 Literatur

- [1] Roberts: *Rubber Chem. Tech.* **54** (1981), 944.
- [2] Continental AG: Dt. Patentanmeldung 19610375.4, 1996.
- [3] Goodyear: *US 5672639*, 1997.
- [4] Zwischenbericht für den 3. Berichtszeitraum der Projektlaufzeit, FKZ 97NR133, 98NR043, 98NR044, 98NR045
- [5] Zwischenbericht für den 1. Berichtszeitraum der Projektlaufzeit, FKZ 97NR133, 98NR043, 98NR044, 98NR045.
- [6] Zwischenbericht für den 2. Berichtszeitraum der Projektlaufzeit, FKZ 97NR133, 98NR043, 98NR044, 98NR045.
- [7] Zwischenbericht für den 4. Berichtszeitraum der Projektlaufzeit, FKZ 97NR133, 98NR043, 98NR044, 98NR045.
- [8] Zwischenbericht für den 5. Berichtszeitraum der Projektlaufzeit, FKZ 97NR133, 98NR043, 98NR044, 98NR045.
- [9] Zwischenbericht für den 6. Berichtszeitraum der Projektlaufzeit, FKZ 97NR133, 98NR043, 98NR044, 98NR045.
- [10] Abschlußbericht Universität Bayreuth, FKZ 98NR045.
- [11] Abschlußbericht Fraunhofer Gesellschaft IVV, FKZ 98NR043.
- [12] Abschlußbericht Universität Potsdam, FKZ 98NR044.

## 7 Anhang

## RESULT SHEET

NR VAR	141-3-1 GPU	141-3-2 GPU	141-3-3 GPU	141-4-1 GPA	141-4-2 GPA	141-4-3 GPA	141-1-1 REF	141-1-2 REF	141-1-3 REF	141-2-1 WHEAT	141-2-2 WHEAT	141-2-3 WHEAT
<b>NAME</b>												
SSBR 25Si24V	-	100	<	<	<	<	<	<	<	<	<	<
N_339	-	1.5	<	<	<	<	<	<	<	<	<	<
ZINC OXIDE	-	3	<	<	<	<	<	<	<	<	<	<
STEARIC ACID	-	1.5	<	<	<	<	<	<	<	<	<	<
WEIZENPROTEIN	-	20	<	40	60	<	<	<	<	20	<	60
GPU	-	126	146	166	126	40	60	126	146	126	146	166
GPA	-	1.022	1.069	1.107	1.022	1.069	1.107	1.041	1.105	1.158	1.022	1.069
D(G/cm3) =	-	126	146	166	126	146	166	126	146	126	146	166
*2	-	0.5	<	<	<	<	<	<	<	<	<	<
Accel. 1	-	1.8	<	<	<	<	<	<	<	<	<	<
Accel. 2	-	1.8	<	<	<	<	<	<	<	<	<	<
SULFUR	-	130.1	150.1	170.1	130.1	150.1	170.1	130.1	150.1	170.1	150.1	170.1
D(G/cm3) =	-	1.033	1.077	1.114	1.033	1.077	1.114	1.051	1.113	1.165	1.033	1.077
<b>RHEOMETER</b>												
MDR 2000/160 degree Celsius	-	-	-	-	-	-	-	-	-	-	-	-
ML	0.91	1.15	1.3	0.91	0.84	0.55	1.09	1.84	3.89	0.91	1.17	1.47
MHF	11.1	12.14	11.93	7.04	4.28	3.17	14.12	19.94	27.75	12.18	13.74	15.8
MHF - ML	10.19	10.99	10.63	6.13	3.44	2.62	13.03	18.1	23.86	11.27	12.57	14.33
Tangens delta 100°C	0.08	0.11	0.13	0.17	0.18	0.09	0.01	0.03	0.06	0.04	0.1	0.13
T5%	7.82	4.59	2.64	7.31	7.38	6.3	3.17	1.77	0.66	6.73	6.21	6.07
T90%	12.36	8.54	6.56	13.84	21.98	46.14	6.24	4.28	2.08	10.68	9.98	9.56
T95%	14.05	9.87	7.83	15.86	27.87	63.15	7.33	5.21	2.69	12.13	11.32	10.71
T100%	20.72	15.74	13.31	23.67	51.23	101.01	12.89	9.64	10.56	18.23	16.47	14.99
T99R%	25.88	20.68	15.81	31.26	0	0	16.89	14.55	19.55	22.44	19.95	18.15
T98R%	29.12	22.78	20.6	34.86	0	0	22.94	0	0	24.63	21.76	19.84
T97R%	0	24.64	0	0	0	0	0	0	0	27.02	23.52	21.33
T95R%	0	0	0	0	0	0	0	0	0	0	27.69	24.64
K30_90	0.545	0.685	0.603	0.369	0.151	0.055	0.993	1.26	2.065	0.648	0.678	0.809
MAX. TORQUE REACHED?	J	J	J	J	N	N	J	J	J	J	J	J
Optimal cured	-	-	-	-	-	-	-	-	-	-	-	-
Curetime 160 Grad C	15	10	10	20	30	45	10	10	5	15	15	15
Density (G/cm3)	1.001	1.038	1.062	1.014	1.038	1.044	1.047	1.106	1.157	1.003	1.025	1.045
Tensile Strength (MPa)	1.1	1.3	1.7	1.7	1.8	1.9	5.7	16.6	16.6	0.7	0.9	0.8
Elongation at Break (%)	183	356	470	300	403	455	291	342	219	97	109	116
M100% (MPa)	0.92	0.96	1.27	0.89	0.99	1.11	1.47	2.84	5.89	0.95	0.88	0.76
M200% (MPa)	0	1.1	1.34	1.3	1.32	1.36	3.39	8.37	16.59	0	0	0
M300% (MPa)	0	1.25	1.42	0	1.61	0	15.45	0	0	0	0	0
Energy at brake	1.4	3.3	5.8	2.8	4.6	5.6	6.3	21.4	14.3	0.7	0.7	0.7
Hardness Shore A	48.6	52.4	56.4	45.1	49.3	51.8	53.5	64.2	75.3	49.5	54.3	58.5
Hardness Shore A - 70 Grad C	48.7	49.8	52.8	44.5	47.7	49.6	52.9	62.7	73	49.3	53.6	55.9
Resilience (%)	57.5	54.8	51.5	56.2	57.1	55.9	47.9	39.5	57.8	55.5	52.2	64.4
Resilience (%) - 70 Grad C	66.6	61.8	55.8	62.9	61.6	57.9	65.1	58.7	50.8	66.3	64.4	60.2



DESIgn

ANLAGE 3

EFFECTS

ANLAGE 4



MEMOIR SHEET

ANLAGE 6

# EIVEICE - Korrelation Kennzahlen

Anlage 7

Kennzahlen Protein:  
Protein / TS-Löslichkeit  
Wasserbindevermögen  
Ölbindevermögen  
(Emulgierreigenschaften)  
Schaumbildung—  
Gelbildung / -festigkeit—  
Viskosität—  
Oberflächenspannung—  
Korngrößenverteilung  
(REM-Aufnahmen)  
Netzwerk-eigenschaften—  
Rieselfähigkeit—  
Adsorptionsverhalten—  
Kontaktwinkelbestimmung—  
 $a_w$ -Wertbestimmung—  
Schüttgewicht—  
Farbe nach LAB—

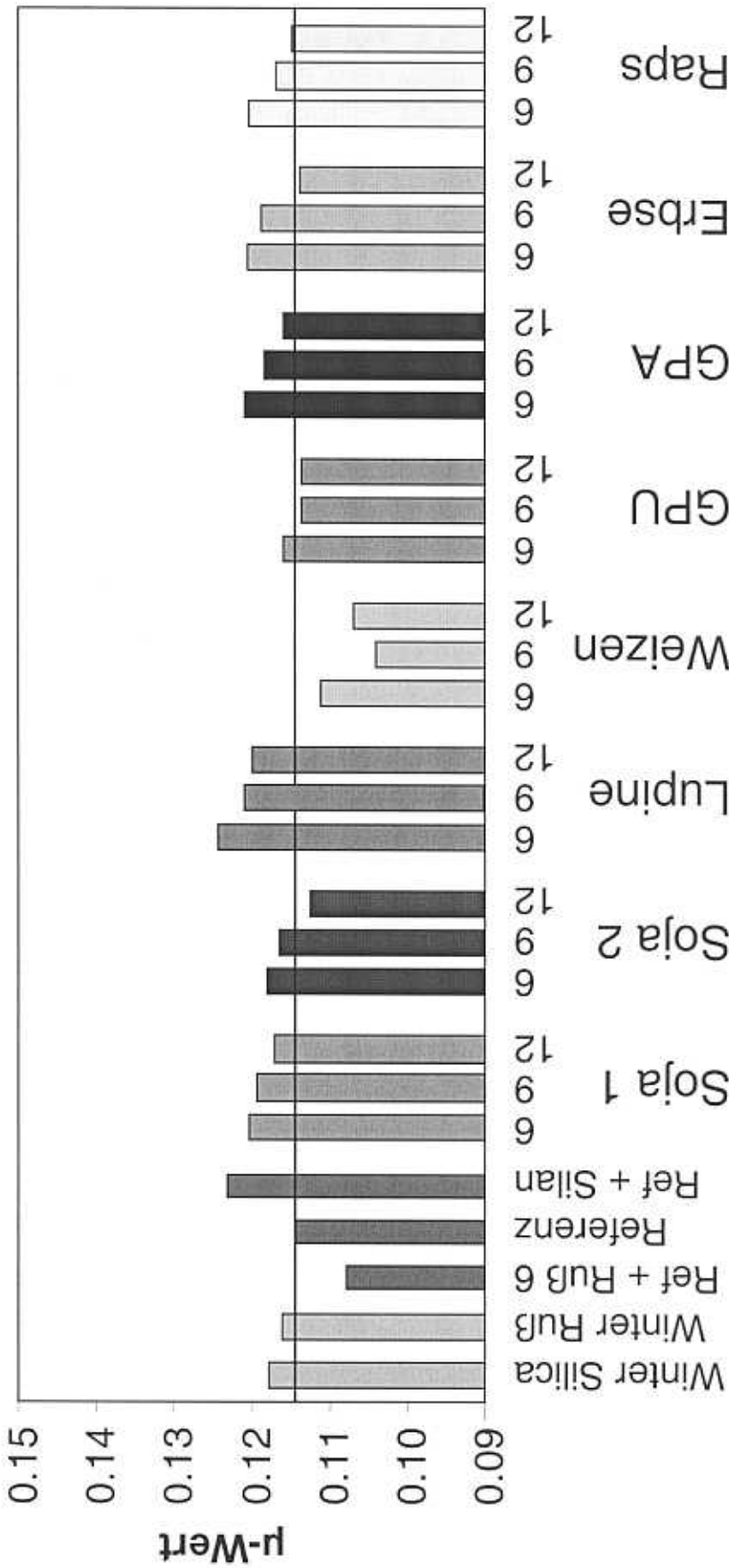
Korrelation mit:  
Kerngrößenverteilung  
(REM-Aufnahmen)  
Netzwerk-eigenschaften—  
Rieselfähigkeit—  
Adsorptionsverhalten—  
Kontaktwinkelbestimmung—  
 $a_w$ -Wertbestimmung—  
Schüttgewicht—  
Farbe nach LAB—

Kennzahlen Compound:  
Mooney-Viskosität  
Vulkanisationscharakteristik  
Dichte  
Shore A -Härte RT, 70 °C  
Rückparallelastizität RT, 70 °C  
Zugversuch Ring RT  
DIN-Abrieb  
BPST-Skid-Pendel  
dyn.-mech. Charakterisierung  
optional:  
Grosch-Abraader  
Wearmeter  
Linearprüfstand  
zus. dyn.-mech. Charaktisierung  
DSC  
Grenzflächenspannung

# Pflanzliche Proteine – Verwendung in Kautschukmischungen

Anlage 8

## Erster Laborvergleich kommerzieller Rohstoffe Wintereigenschaften von Kautschukmischungen

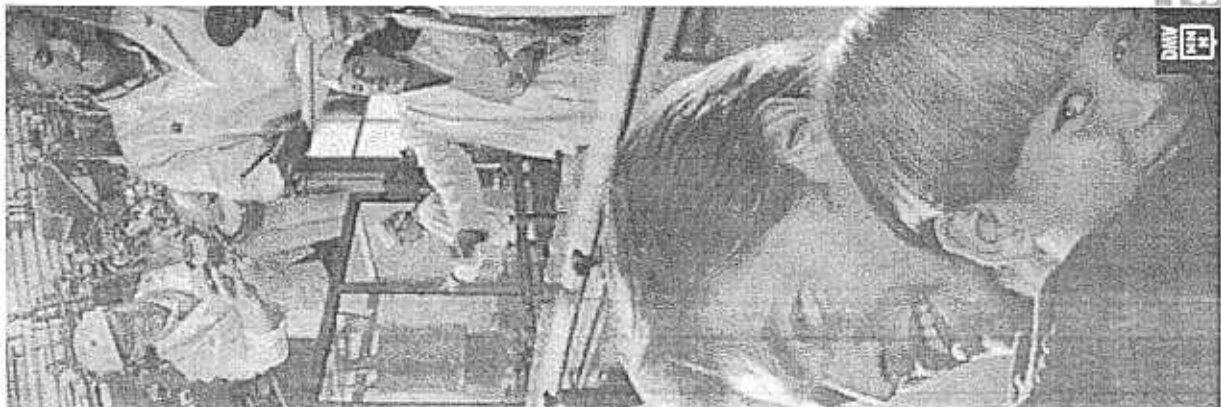


Code-Nr.:...ppr2003litr306.ppt

# DMV Continental project

## Hydrolysis/analysis conditions

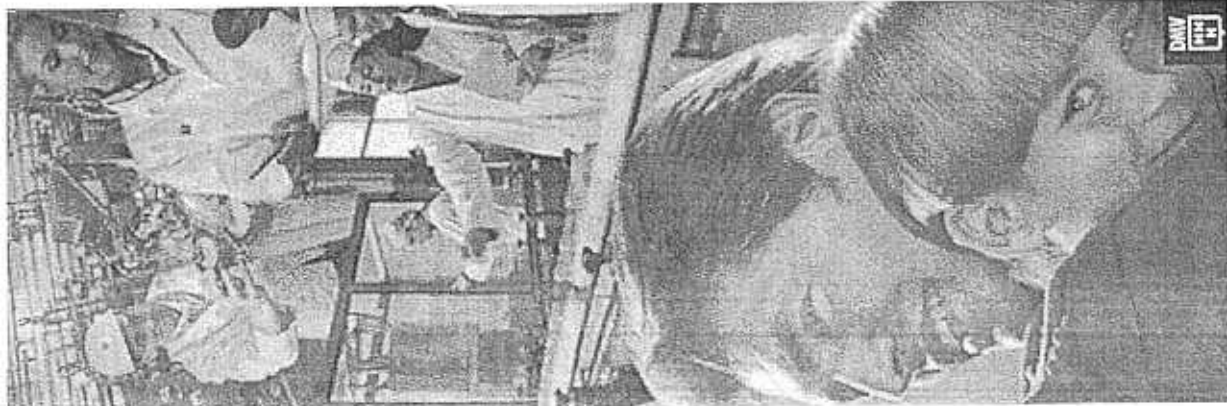
- No pH stat
- Preliminary work with fungal protease f(time)
- MW distribution: GPC soluble fraction in 70:30,  
water:acetonitrile



# DMV Continental project

## Initial hydrolysis rapeseed/lupin

Sample	Raw Mat.	Enzyme/ Conc%/l	AN/DH%	Av. MW
EH08-83A	Lupin	Fungal 0.5%/3	1.22/6.85	5726
EH08-83B	Lupin	Fungal 2.0%/3	1.6/10.8	2518
EH08-84A	Rapeseed	Fungal 0.5%/3	1.15/5.9	7648
EH08-84B	Rapeseed	Fungal 2.0%/3	1.6/10.5	4134
EH08-93	Rapeseed	Plant 2.0%/4	0.88/5.1	5156
EH08-94	Lupin	Plant 2.0%/4	1.07/3.31	4970



# DMV Continental project

## Recent hydrolysis rapeseed/lupin

Sample	Raw Mat.	Enzyme/ Conc%/t	AN/DH%	Av. MW
EH09-2A	Rapeseed Infused	Plant 2.0%/3	0.94/4.2	5125
EH09-2B	Rapeseed Infused	Fungal 2.0%/3	1.62/10.7	3455
EH09-5A	Lupin Infused	Plant 2.0%/3	0.9/3.52	4345
EH09-5B	Lupin Infused	Fungal 2.0%/3	1.7/12	1322
EH09-7	Rapeseed pH adjusted	Fungal + Micro 5%+2%/6	3.1/26	4294



# DMV Continental project

## -SH samples

- Samples supplied in June
- LE80GF-US
  - Hydroxyl content: 44mg S/g protein; 66mg T/g protein
  - -SH content: 27mg C/g protein
  - 1-1.5%AN, 75% protein, Av MW 4600
- WE80BG
  - Hydroxyl content: 43mg S/g protein; 63mg T/g protein
  - -SH content: 33mg C/g protein
  - 3-3.6%AN, 78.5% protein, Av MW 570





## DMV Continental project Hydrolysis/analysis conditions

- No pH stat, adds too much salt
- Combination of fungal proteases used, f(time), different enzyme combinations for rape and lupin seed. (Rape more resistant)
- MW distribution: GPC soluble fraction in 70:30, water:acetonitrile
- Conclusions:
  - High DH samples easier to handle
  - Low DH samples show some aggregation on heat inactivation of enzyme



## DMV Continental project Optimized hydrolysates sent

Sample	Raw Mat.	Degree H	AN/DH%	Av. MW
EH09-14	Lupin	Low	1.2/7	6163
EH09-12A	Lupin	Med	2.3/15	1483
EH09-12B	Lupin	High	3.4/25	1153
EH09-24	Rapeseed	Low	1.4/9	7478
EH09-22	Rapeseed	Med	1.6/11	7067
EH09-25	Rapeseed	High	3.4/29	6972

	STAMMNR VAR	107-1-1 REF 1	107-1-2 REF 2	107-1-3 REF 3	107-1-4 REF 4	107-2-1 SOJA	107-2-2 SOJA	107-2-3 SOJA	107-2-4 SOJA	107-2-5 SOJA	107-2-6 SOJA	107-2-7 SOJA
SSBR 25S/24V	100	<	<	<	<	<	<	<	<	<	<	<
N 339	40	46	39.4	38.8	40	39.4	38.8	39.4	39.4	39.4	39.4	38.8
6PPD	1.5	<	<	<	<	<	<	<	<	<	<	<
ZINC OXIDE INDIRECT	3	<	<	<	<	<	<	<	<	<	<	<
STEARIC ACID	1.5	<	<	<	1.2	2.4	<	<	<	<	<	2.4
X 50 S	-	-	-	-	-	-	6	12	6	12	12	-
SOJAPROTEINISOLAT 1	-	-	-	-	-	-	-	-	-	-	-	-
LUPINENPROTEINISOLAT 2	-	-	-	-	-	-	-	-	-	-	-	-
Acetyl 1	0.5	<	<	<	<	<	<	<	<	<	<	<
Acetyl 2	1.8	<	<	<	<	<	<	<	<	<	<	<
SULFUR	1.8	<	<	<	<	<	<	<	<	<	<	<
MDR 2000/160 degree Celsius												
ML	1.56	1.92	1.58	1.6	1.71	1.88	1.74	1.68	1.81	1.78	1.75	1.75
MHF	19.47	21.75	19.14	18.92	20.9	22.68	20.87	20.58	20.17	20.29	21.49	21.49
MHF - ML	17.91	19.83	17.56	17.32	19.19	20.8	19.13	18.9	18.36	18.51	19.74	19.74
Tangens delta 100°C	0.02	0.03	0.03	0.03	0.02	0.02	0.02	0.02	0.03	0.02	0.03	0.03
T5%	2.2	1.91	1.78	1.66	1.96	1.77	1.57	1.61	1.25	1.31	1.62	1.62
T10%	2.54	2.23	2.11	1.99	2.3	2.09	1.88	1.92	1.5	1.56	1.92	1.92
T40%	3.14	2.81	2.71	2.59	2.88	2.65	2.42	2.48	1.96	2	2.46	2.46
T95%	5.62	5.31	5.46	6.4	5.27	4.94	5.09	6.18	4.75	4.67	6.5	6.5
T99R%	15.21	13.97	29.19	39.67	16.19	15.18	28.79	38.09	30.4	28.59	37.63	37.63
K30_90	1.238	1.224	1.194	0.964	1.28	1.324	1.241	0.942	1.324	1.239	0.919	0.919
Mooney ML 1+3 (100°C)	64.9	75	65.7	66.6	68.9	73	69.9	67.8	71.1	68.8	69.6	69.6
Optimal cured												
Curetime 160 Grad C	10	10	10	10	10	10	10	10	10	10	10	10
Density (g/cm³)	1.099	1.116	1.1	1.101	1.105	1.11	1.106	1.105	1.108	1.11	1.11	1.11
Tensile Strength (MPa)	13.8	18	14.2	15.3	15.4	14.3	14.4	16.2	15.4	14.2	15.4	15.4
Elongation at Break (%)	316	335	315	327	352	342	325	358	355	342	366	366
M100% (MPa)	2.48	3.05	2.54	2.52	2.7	2.99	2.83	2.79	2.88	3.11	3.13	3.13
M200% (MPa)	7.48	9.38	7.79	7.82	7.25	7.14	7.62	7.44	7.18	7.06	6.98	6.98
M300% (MPa)	14.48	17.34	0	15.28	13.83	13.35	14.52	14.24	13.66	13.3	13.05	13.05
energy at brake	15.9	22.7	16.1	18.1	20.3	18.9	17.5	21.9	20.9	18.9	21.9	21.9
Hardness Shore A	61.6	65.3	62	61.7	63.8	66.7	64.1	63.2	64	64.6	65.8	65.8
Hardness Shore A - 70 Grad C	60.5	63.1	60.4	60.2	62.1	64	62.7	62.1	62.5	63.1	63.7	63.7
Resilience (%) - 70 Grad C	49.5	47.2	50.4	51.6	49	49.7	50.5	51.7	51.4	51.6	50.9	50.9
DIN-Abrasion mm³	61.1	58.6	61.8	62	60.5	61	62.1	62.6	62.7	63	62.3	62.3
Ice Lab Rating	116	101	110	108	129	145	121	128	134	151	149	149
	100.0	88.3	102.9	95.6	90.1	92.3	95.7	96.7	96.0	100.4	101.5	101.5

# Pflanzliche Proteine – Verwendung als Füllstoff in Kautschukmischungen

Anlage 15

## Modellrezeptur (in phr)

L-SBR	100
Ruß	40
Protein	0 ... 12
Kopplungsreagenz	1,2
Alterungsschutzmittel	1,5
-----	
Beschleuniger	2,3
Schwefel	1,8

STAMMNR VAR	107-3-1 SOUA	107-3-2 SOUA	107-3-3 SOUA	107-3-4 SOUA	107-3-5 SOUA	107-3-6 SOUA	107-3-7 SOUA	107-4-1 LUPI	107-4-2 LUPI	107-4-3 LUPI	107-4-4 LUPI	107-4-5 LUPI	107-4-6 LUPI	107-4-7 LUPI		
SSBR 25S/24V N 339	< 40	< <	< <	< 39.4	< 38.8	< 39.4	< <	< 100	< 36.8	< 40	< 40	< 39.6	< 36.8	< 39.4		
6PPD	< <	< <	< <	< 1.2	< 2.4	< 1.2	< 1.2	< 1.5	< 3	< 1.5	< 1.5	< 1.5	< 1.5	< 1.5		
ZINC OXIDE INDIRECT STEARIC ACID X 50 S	< <	< <	< <	< 6	< 12	< 6	< 9	< 1.2	< 2.4	< 1.2	< 1.2	< 1.2	< 2.4	< 2.4		
SQJAPROTEINISOLAT <sup>1</sup> LUPINENPROTEINISOLAT <sup>2</sup>	- -	- -	- -	- -	- -	- -	- -	- -	- -	- -	- -	- -	- -	- -		
Acetol 1 Acetol 2 SULFUR	< <	< <	< <	< <	< <	< <	< <	< 1.2	< 0.5	< 0.5	< 0.5	< 0.5	< 0.5	< 0.5		
MDR 2000/160 degree Celsius ML	1.67 19.78	1.73 21.27	1.68 19.87	1.65 19.74	1.7 19.97	1.7 20.47	1.7 20.67	1.62 19.86	1.67 21.24	1.67 20.36	1.64 19.43	1.64 20.69	1.72 20.23	1.82 21.52		
MHF - ML tangens delta 100°C	18.11 0.02	19.54 0.02	18.19 0.02	18.09 0.03	18.27 0.03	18.66 0.03	18.9 0.03	18.24 0.02	19.57 19.66	18.24 18.66	17.79 18.96	17.79 18.51	19.7 19.7	19.7 19.7		
T5% T10% T40% T95% T99R% K30_90	1.51 1.64 1.81 2.32 4.51 13.76 18.42 1.419	1.64 1.4 1.97 2.52 5 13.76 27.9 1.231	1.68 1.45 1.74 2.16 4.75 36.41 27.43 1.29	1.65 1.46 1.75 2.25 5.84 4.81 5.42 4.54 1.037	1.7 1.27 1.75 2.24 5.84 4.81 5.42 4.82 1.347	1.7 1.34 1.75 2.24 5.84 4.81 5.42 4.82 1.347	1.7 1.34 1.75 2.24 5.84 4.81 5.42 4.82 1.347	1.62 1.68 1.59 2 2.06 2.06 2.06 2.06 1.033	1.67 1.68 1.59 2.15 2.54 2.54 2.71 2.71 1.364	1.67 1.62 1.59 2.15 2.54 2.54 2.71 2.71 1.364	1.67 1.62 1.59 2.15 2.54 2.54 2.71 2.71 1.364	1.64 1.62 1.59 2.15 2.54 2.54 2.71 2.71 1.364	1.64 1.62 1.59 2.15 2.54 2.54 2.71 2.71 1.364	1.64 1.62 1.59 2.15 2.54 2.54 2.71 2.71 1.364	1.72 20.69 18.96 18.51 19.7	1.72 20.23 19.7 19.7 19.7
Mooney ML 1+3 (100°C)	67.9	69.8	68	67.4	68.9	71	69.6	67	69	69.1	67.8	67.8	69.8	71.7		
Optimal cured																
Curetime 150 Grad C Density (g/cm³) Tensile Strength (MPa) Elongation at Break (%) M100% (MPa) M200% (MPa) M300% (MPa) energy at brake Hardness Shore A Hardness Shore A - 70 Grad C Resilience (%) - 70 Grad C DIN-Abrasion mm3 Ice Lab Rating	10 1.104 15.6 363 2.63 7.07 13.54 21.6 64.6 61.3 50.4 62.2 125 98.2	10 1.109 14.6 358 2.78 6.78 12.81 14.23 20.2 62.8 61.5 50.6 61.8 153 98.9	10 1.105 15.2 342 2.63 7.39 14.23 19.5 62.7 61.4 50.8 61.3 124 103.3	10 1.104 15.1 343 2.63 7.25 14.02 19.4 63.3 61.4 51.7 62.4 125 101.1	10 1.104 14.9 349 2.63 7.05 13.48 19.5 64.1 61.4 51.2 62.1 124 98.5	10 1.112 13.7 332 2.63 7.05 13.33 19.5 64.5 61.4 51.2 62.1 124 98.2	10 1.104 13.7 332 2.63 7.05 13.33 19.5 64.5 61.4 51.2 62.1 124 98.2	10 1.104 13.8 332 2.63 7.26 13.35 19.4 64.3 61.4 50.7 61.4 124 98.2								

Compound Var	121-1-1 REF1	121-1-2 REF2	121-1-3 REF3	121-1-4 REF4	T4953 REF5 Wk	T 827 REF6 Werk	121-5-1 WEIZ	121-5-2 WEIZ	121-5-3 WEIZ	121-5-4 WEIZ	121-5-5 WEIZ	121-5-6 WEIZ	121-5-7 WEIZ		
SSBR 2BS/24V N 339 6PPD ZINC OXIDE INDIRECT STEARIC ACID X 50 S WEIZEN GPU GPA ERBSE RAPS Accel. 1 Accel. 2 SULFUR	100 40 1.5 3 1.5 1.5 1.5 1.5 0.5 1.8 1.8	< 46 < < < < < < < < <	< 39.4 < < < < < < < < <	< 36.8 < < < < < < < < <	< 40 < < < < < < < < <	< 40 < < < < < < < < <	< 39.4 < < < < < < < < <	< 38.8 < < < < < < < < <	< 39.4 < < < < < < < < <	< 38.8 < < < < < < < < <	< 38.8 < < < < < < < < <	< 38.8 < < < < < < < < <			
MDR2000/160°C ML MHF MHF + ML tan delta 100°C T5% T40% T95% T99R% K30_90 ML 1+3 (100°C)	1.63 19.24 17.61 0.03 1.59 2.43 4.75 14.86 1.341 69.2	1.96 21.12 19.16 0.03 1.13 1.8 3.74 16.29 1.572 77.4	1.6 18.99 17.39 0.02 1.66 2.54 5.21 3.74 5.21 0.923 68.7	1.61 14.15 12.45 0.07 1.44 2.18 2.71 4.96 5.21 0.405 67.5	1.7 20.01 18.29 0.08 2.18 2.2 3.39 5.86 5.21 1.016 52.9	1.72 21.26 19.41 0.03 1.62 2.05 2.95 5.19 5.51 1.256 68.7	1.85 21.26 19.53 0.04 1.62 2.05 2.95 5.19 5.51 1.256 73.7	1.76 19.24 17.5 0.03 1.55 1.61 2.41 4.89 5.5 1.281 71.8	1.74 19.24 18.53 0.04 1.46 1.55 2.39 4.89 5.5 1.281 70.6	1.91 20.44 17.5 0.03 1.61 1.61 2.23 4.85 5.5 1.22 75.8	1.93 20.37 18.44 0.04 1.64 1.64 2.47 4.85 5.17 1.22 74.5				
Optimal cured Curetime 160 Grad C Density (g/cm³) Tensile Strength (MPa) Elongation at Break (%) M100% (MPa) M200% (MPa) M300% (MPa) energy at brake Shore A Shore A 70°C Resilience (%) 70°C Abrich mm3 Ice Lab Rating	10 1.104 11.8 283 2.57 7.73 12.2 15 62.1 61.6 48.1 61 114 100.0	10 1.104 14.6 310 3.19 9.86 15.62 16.3 62.1 61.6 46 50.3 51 101 96.3	10 1.104 15 323 2.53 8.1 15.46 17.5 61.8 54.3 34.2 62.7 61.2 106 103.3	10 1.104 15.3 677 1.39 7.84 5.36 9.94 57.3 56.8 32.8 47.4 46.4 94 104.6	10 1.107 16.4 489 1.95 7.37 5.36 9.94 60.2 63.7 49.3 61.2 61.2 94 104.6	10 1.107 14.6 357 2.96 5.37 5.36 9.94 64.5 64.1 50.1 60.8 62 133 152	10 1.107 14.4 351 3.41 7.26 7.26 13.19 67.6 66.7 49.3 60.8 62 133 125	10 1.109 14.7 331 3.18 7.69 7.69 14.27 65.5 64.1 51 63.6 62 132 128	10 1.111 15.5 322 3.18 7.67 7.67 14.95 65.4 64.5 51 63.6 62 132 128	10 1.112 15.3 322 3.35 7.67 7.67 13.86 65.4 64.5 51 63.6 62 132 128	10 1.113 15.3 347 3.39 7.67 7.67 14.15 66.3 65 51 63.4 62 132 128	10 1.113 15.3 347 3.39 7.67 7.67 14.15 66.3 66.7 50.7 63.4 62 132 128	10 1.113 15.3 347 3.39 7.67 7.67 14.15 66.3 66.7 50.7 63.4 62 132 128	10 1.113 15.3 347 3.39 7.67 7.67 14.15 66.3 66.7 50.7 63.4 62 132 128	10 1.113 15.3 347 3.39 7.67 7.67 14.15 66.3 66.7 50.7 63.4 62 132 128

Compound Var	121-6-1 GPU	121-6-2 GPU	121-6-3 GPU	121-6-4 GPU	121-6-5 GPU	121-6-6 GPU	121-6-7 GPU	121-7-1 GPA	121-7-2 GPA	121-7-3 GPA	121-7-4 GPA	121-7-5 GPA	121-7-6 GPA	121-7-7 GPA		
SSBR 25S/24V N 339	< 40	< <	< 39.4	< 39.8	< 39.4	< 38.8	< 36.8	< 100	< 40	< 39.6	< 38.8	< 39.4	< 38.8	< 38.8		
GPPD	< <	< <	< <	< <	< <	< <	< <	< 1.5	< 1.5	< 1.5	< 1.5	< 1.5	< 1.5	< 1.5		
ZINC OXIDE INDIRECT STEARIC ACID X 50 S WEIZEN GPU	< < < < < < 1.2	< < < < < 2.4	< < < < < 1.2	< < < < < 1.2	< < < < < 1.2	< < < < < 1.2	< < < < < 1.2	< < < < < 1.2	< < < < < 1.2	< < < < < 1.2	< < < < < 1.2	< < < < < 1.2	< < < < < 1.2	< < < < < 1.2		
ERBSE RAPS Accel. 1 Accel. 2 SULFUR	< < < < < < 6	< < < < < < 12	< < < < < < 9	< < < < < < 12	< < < < < < 12	< < < < < < 6	< < < < < < 12	< < < < < < 6	< < < < < < 12	< < < < < < 6	< < < < < < 12	< < < < < < 6	< < < < < < 12	< < < < < < 6		
MDR2000/160°C ML MH-F MH-F - ML tan delta 100°C T5% T40% T95% T99R% K30_90 ML 1+3 (100°C)	1.7 18.84 18.27 17.14 16.47 0.03 0.04 1.68 1.45 2.39 4.59 4.07 10.83 10.02 1.372 1.433 70.6	1.08 18.84 18.73 16.92 16.7 0.03 0.04 1.36 1.26 2.02 5.09 4.05 1.385 1.134 1.436 1.402 73.8	2.03 18.84 18.73 16.57 16.31 0.04 0.04 1.36 1.26 1.89 5.09 4.05 1.134 1.134 1.436 1.402 78.0	2.13 18.7 18.67 16.35 14.15 0.05 0.05 1.25 1.25 1.86 4.05 4.05 1.134 1.134 1.436 1.402 91.4	2.36 18.73 15.81 12.06 12.06 0.11 0.06 1.37 1.34 1.86 4.71 4.71 1.134 1.134 1.436 1.402 94.7	2.43 15.81 13.82 13.74 13.74 0.07 0.06 1.34 1.25 1.84 3.76 3.76 1.134 1.134 1.436 1.402 97.2	1.66 13.82 15.56 14.59 14.59 0.11 0.08 1.25 1.24 1.84 3.73 3.73 1.134 1.134 1.436 1.402 99.7	1.76 15.56 16.6 13.26 13.26 0.11 0.08 1.24 1.24 1.77 3.82 3.82 1.134 1.134 1.436 1.402 102.2	2.01 14.59 14.59 12.47 12.47 0.11 0.09 1.24 1.24 1.77 4.65 4.65 1.134 1.134 1.436 1.402 105.7	2.25 15.51 14.85 13.47 13.47 0.11 0.09 1.24 1.24 1.76 4.65 4.65 1.134 1.134 1.436 1.402 108.2	2.38 14.85 16.27 13.07 13.07 0.11 0.09 1.24 1.24 1.76 4.65 4.65 1.134 1.134 1.436 1.402 110.7	3.2 16.27 16.27 13.07 13.07 0.11 0.09 1.24 1.24 1.76 4.65 4.65 1.134 1.134 1.436 1.402 113.2				
Optimal cured Curetime 160 Grad C Density (g/cm³) Tensile Strength (MPa) Elongation at Break (%) M100% (MPa) M200% (MPa) M300% (MPa) energy at brake Shore A Shore A 70C Resilience (%) Resilience (%) 70C Abrab mm3 Ica Lab Rating	10 1.107 1.113 14.4 344 362 2.55 2.55 7.32 13.52 18.9 62.9 61.5 49.5 62.8 131 108.3	10 1.107 1.109 13.6 319 300 2.84 2.84 7.02 12.62 20.7 63.3 61.4 49.2 63.6 131 102.9	10 1.109 1.111 14.7 316 322 2.95 3.04 8.39 14.8 17.5 64.6 62.1 50.7 63.3 113 107.9	10 1.111 1.114 14.2 318 422 3.04 3.21 8.49 15.04 17.8 64.8 61.7 51.5 62.8 120 106.2	10 1.114 15.2 316 422 2.01 2.01 9.2 15.02 17.8 64.8 61.7 51.5 62.8 120 106.2	10 1.116 15.6 316 422 1.92 1.92 9.2 15.02 17.8 64.8 61.7 51.5 62.8 120 106.2	10 1.116 16.2 316 422 2.16 2.16 9.2 15.02 17.8 64.8 61.7 51.5 62.8 120 106.2	10 1.116 14.5 376 376 2.16 2.16 7.4 5.52 5.52 5.05 6.15 6.15 7.4 7.4 106.6	10 1.109 14.5 376 376 2.16 2.16 7.4 5.52 5.52 5.05 6.15 6.15 7.4 7.4 106.6	10 1.109 14.5 380 380 2.35 2.35 7.4 6.63 6.63 6.63 6.72 6.72 7.4 7.4 106.6	10 1.109 14.5 381 381 2.46 2.46 7.4 6.63 6.63 6.63 6.72 6.72 7.4 7.4 106.6	10 1.109 14.5 381 381 2.46 2.46 7.4 6.63 6.63 6.63 6.72 6.72 7.4 7.4 106.6	10 1.109 14.5 381 381 2.46 2.46 7.4 6.63 6.63 6.63 6.72 6.72 7.4 7.4 106.6	10 1.109 14.5 381 381 2.46 2.46 7.4 6.63 6.63 6.63 6.72 6.72 7.4 7.4 106.6	10 1.109 14.5 381 381 2.46 2.46 7.4 6.63 6.63 6.63 6.72 6.72 7.4 7.4 106.6	10 1.109 14.5 381 381 2.46 2.46 7.4 6.63 6.63 6.63 6.72 6.72 7.4 7.4 106.6

Compound Var	121-8-1 ERBS	121-8-2 ERBS	121-8-3 ERBS	121-8-4 ERBS	121-8-5 ERBS	121-8-6 ERBS	121-8-7 ERBS	121-9-1 RAPS	121-9-2 RAPS	121-9-3 RAPS	121-9-4 RAPS	121-9-5 RAPS	121-9-6 RAPS	121-9-7 RAPS
SSBRA 26S/24V N 339	< 40	< <	< <	< 39.6	< 38.8	< 39.4	< 38.8	< 40	< 39.6	< 39.6	< 39.4	< 38.8	< 38.8	< 38.8
6PPD	< <	< <	< <	< <	< <	< <	< <	< <	< <	< <	< <	< <	< <	< <
ZINC OXIDE INDIRECT STEARIC ACID X 50 S WEIZEN GPU GPA ERBSE RAPS Accel.1 Accel.2 SULFUR	< <	< <	< <	< 1.2	< 2.4	< 1.2	< 2.4	< 1.2	< 1.2	< 1.2	< 2.4	< 1.2	< 2.4	< 2.4
MDR2000/160°C ML MHF - ML tan Delta 100°C T5% T40% T95% T99R% K30_90 ML 1+3 (100°C)	1.7 20.07 18.37 0.03 1.96 2.82 5.22 5.29 12.31 1.264 69.9	1.83 21.05 19.22 0.03 2.95 2.92 4.92 5.88 1.326 1.285 73.5	1.72 19.7 17.98 0.02 1.69 2.52 2.52 4.92 1.326 1.285 70.5	1.77 19.98 18.26 0.03 1.65 2.46 2.46 5.01 0.997 0.997 69.6	1.88 20.52 18.64 0.02 1.55 2.24 2.24 4.68 1.315 1.315 71.3	1.89 20.55 18.89 0.03 1.55 2.32 2.32 5.42 1.078 1.078 73.8	1.75 20.64 20.1 0.02 2.02 2.91 2.91 5.44 1.209 1.209 73.7	1.86 21.96 20.1 0.02 2.07 2.48 2.48 5.04 1.231 1.231 71.4	1.78 20.26 18.48 0.02 1.66 2.46 2.46 5.04 1.231 1.231 71.4	1.75 20.19 18.01 0.02 1.66 2.53 2.53 5.85 1.231 1.231 71.4	1.73 19.74 18.01 0.02 1.66 2.39 2.39 4.96 1.231 1.231 71.4	1.85 20.96 19.16 0.02 1.61 2.39 2.39 4.93 1.231 1.231 71.4	1.85 21.02 19.17 0.03 1.53 2.39 2.39 5.58 1.231 1.231 71.4	1.85 21.02 19.17 0.03 1.53 2.39 2.39 5.58 1.231 1.231 71.4
Optimal cured Curingtime 160 Grad C Density (GICM3) Tensile Strength (MPa) Elongation at Break (%) M100% (MPa) M200% (MPa) M300% (MPa) energy at brake Shore A Shore A 70C Resilience (%) Resilience (%) 70C Abrieb mm3 Ice Lab Rating	1.107 15 346 2.83 7.39 13.82 19.9 64.2 62.7 49.6 60.5 129 111.6	1.112 14.3 352 3.19 7.13 12.9 20.4 66.3 64.7 49.3 60.2 146 107.1	1.108 13.6 315 2.98 7.65 12.9 16.2 64.4 64.7 50.4 61.5 123 110.0	1.111 14.5 328 3.08 7.78 12.9 18.3 64.2 64.7 50.4 61.1 120 111.6	1.111 15.5 358 3.12 7.36 14.51 16.2 65.7 65.2 50.4 62.6 132 103.7	1.112 12.8 363 3.43 7.49 13.67 21.6 65.7 63.4 50.4 62.6 142 102.9	1.108 11.7 312 3.53 7.68 13.41 22.8 64.3 63.2 49.5 61.1 138 102.9	1.114 12.7 284 3.04 7.81 13.59 16.9 66.7 65.2 50.4 61.1 140 100.4	1.109 13.5 317 3.36 7.53 13.59 15.9 63.8 63.2 49.1 61.1 129 102.5	1.111 14.2 306 3.09 8.01 13.59 17.1 64.2 63.2 49.1 61.1 140 101.7	1.111 13.4 317 3.08 8.01 13.59 15.8 64.3 63.2 49.1 61.1 126 104.1	1.116 12.7 302 3.24 7.72 13.99 17.1 64.3 63.4 49.9 61.7 131 105.0	1.116 14.6 332 3.59 7.96 13.99 15.7 64.3 63.4 50.2 61.7 148 101.7	1.116 14.6 332 3.58 8.03 13.99 15.7 64.3 63.4 50.2 61.7 142 102.1

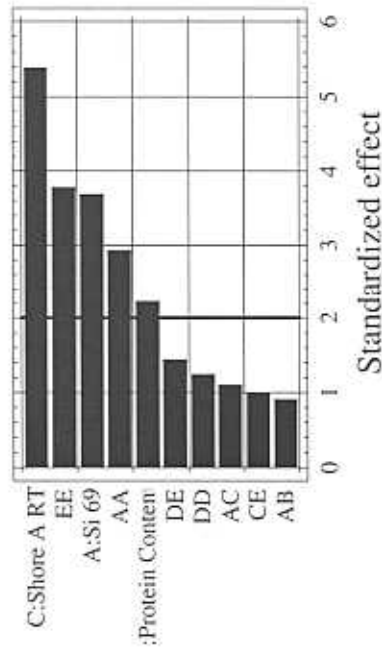
STAMMNR VAR	125-1-1 REF1	125-1-2 REF7	125-1-3 REF8	125-1-4 REF9	125-1-5 REF10	125-1-6 REF11	125-1-7 REF12	125-1-8 REF13	125-2-1 GPU	125-2-2 GPU	125-2-3 GPU	125-2-4 GPU	125-2-5 GPU	125-2-6 GPU	125-2-7 GPU	125-2-8 GPU
VSL 2525-0	100.	<	<	<	<	<	<	<	<	<	<	<	<	100.	<	<
N 339	40.	<	<	2.5	<	5.	<	5.	<	2.5	<	5.	<	40.	<	<
RICOBOND 1731	-	-	2.5	-	-	5.	-	5.	-	2.5	-	5.	-	-	-	2.5
RICO 131/MA-10	-	-	-	-	-	-	-	-	-	-	-	-	-	-	-	-
RICON 131 MA-5	-	-	-	-	-	-	-	-	-	-	-	-	-	-	-	-
6PPD	1.5	<	<	<	<	<	<	<	<	<	<	<	<	5.	2.5	<
ZINC OXIDE INDIRECT	3.	<	<	<	<	<	<	<	<	<	<	<	<	3.	<	<
STEARIC ACID	1.5	<	<	<	<	<	<	<	<	<	<	<	<	1.5	<	<
WGE 80 GPU	-	-	-	-	-	-	-	-	-	12.	<	<	<	12.	<	<
Accel. 1	0.5	<	<	<	<	<	<	<	<	<	<	<	<	0.5	<	<
Accel. 2	1.8	<	<	<	<	<	<	<	<	<	<	<	<	1.8	<	<
SULFUR	1.8	<	<	<	<	<	<	<	<	<	<	<	<	1.8	<	<
 MDR 2000/160 degree Celsius																
ML	1.75	1.68	1.73	1.65	1.73	1.56	1.59	1.67	1.9	1.73	1.87	1.71	1.61	1.72	1.75	1.75
MHF	19.36	18.66	17.87	16.17	15.65	16.95	18.02	17.98	16.42	16.46	16.05	14.95	14.94	15.83	15.7	15.7
MHF + ML	17.61	16.38	16.14	14.52	13.92	15.39	16.43	16.31	14.52	14.73	14.18	13.24	13.33	14.11	13.95	13.95
tangens delta 100°C	0.03	0.04	0.05	0.06	0.08	0.04	0.04	0.04	0.08	0.09	0.1	0.11	0.11	0.09	0.09	0.1
T8%	1.46	1.96	2.62	2.84	3.44	2.7	2.61	2.56	2.95	1.21	1.34	1.53	1.53	1.37	1.15	1.19
T40%	2.04	2.64	3.42	3.67	4.59	3.52	3.37	3.35	3.25	1.57	1.75	2.	2.	1.77	1.5	1.54
T95%	4.28	5.28	6.59	7.36	9.87	6.58	6.15	6.29	3.07	3.86	4.65	6.03	6.03	4.07	3.51	3.78
T99R%	16.35	17.33	17.68	21.72	0.	16.14	14.99	15.99	19.9	23.78	0.	0.	0.	0.	15.45	0.
K30_90	1.369	1.162	0.95	0.812	0.561	0.973	1.09	1.032	1.623	1.3	1.059	0.81	0.	1.239	1.41	1.289
Mooney ML 1+3 (100°C)	72.	72.7	73.5	72.2	74.9	69.1	69.	72.2	78.2	77.1	81.8	77.7	77.7	72.1	74.5	76.7
 Optimal cured																
Curetime 160 Grad C	10.	10.	10.	10.	10.	10.	10.	10.	7.	7.	7.	7.	7.	7.	7.	7.
Density (G/cm3)	1.105	1.101	1.102	1.098	1.1	1.097	1.099	1.101	1.115	1.112	1.115	1.109	1.111	1.108	1.111	1.113
Tensile Strength (MPa)	14.4	12.6	13.7	13.6	14.2	16.4	14.2	15.6	16.3	16.	16.8	16.1	14.6	14.9	14.4	15.9
Elongation at Break (%)	329	341.	357.	404.	436.	440.	365.	394.	453.	456.	475.	554.	581.	497.	437.	467.
M100% (MPa)	2.63	2.42	2.21	2.08	2.19	2.36	2.46	2.3	2.5	2.5	2.47	2.24	1.85	2.19	2.33	2.42
M200% (MPa)	7.59	6.5	5.53	4.97	5.79	6.51	6.57	6.07	6.07	6.26	6.31	5.12	4.19	5.17	5.81	5.99
M300% (MPa)	14.3	12.07	12.04	10.11	9.34	10.84	12.16	12.02	10.94	10.88	11.09	8.78	7.4	8.99	10.18	10.47
energy abrake	17.9	16.8	18.8	21.7	23.8	28.	19.8	23.9	30.1	30.6	33.8	36.3	31.	26.2	31.3	31.3
Hardness Shore A	63.4	62.2	62.9	61.6	62.5	60.5	61.3	62.2	62.4	64.3	64.4	64.	61.	62.6	62.7	64.6
Hardness Shore A - 70 Grad C	62.	60.7	61.1	59.3	59.4	58.9	60.3	60.4	62.	62.1	61.5	57.5	60.4	60.8	62.4	62.4
Resilience (%)	48.5	49.2	47.9	48.5	47.5	50.3	50.1	49.6	47.9	46.6	47.1	47.	47.5	47.9	47.3	47.3
Resilience (%) - 70 Grad C	59.2	59.1	57.3	56.8	54.8	59.2	59.9	59.3	57.8	56.9	53.8	51.8	54.4	56.6	55.4	55.4
DIN Abrasion mm3	115.	120.	130.	128.	125.	130.	126.	123.	135.	126.	142.	136.	154.	146.	147.	144.



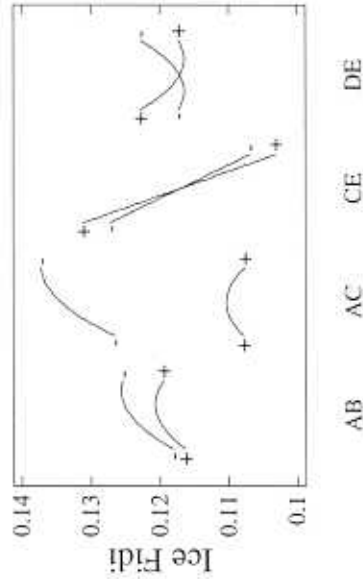
# EIVEICE-Screening: Eis Fidi

Anlage 23

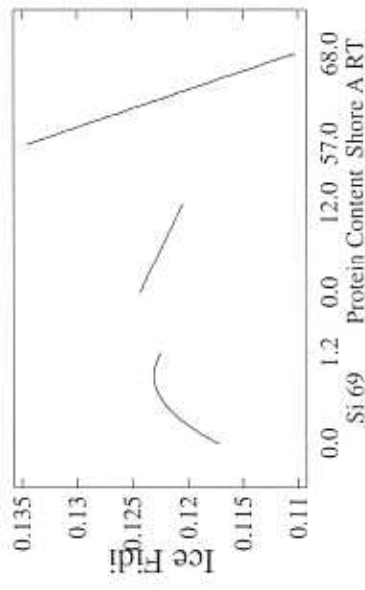
Standardized Pareto Chart for Ice Fidi



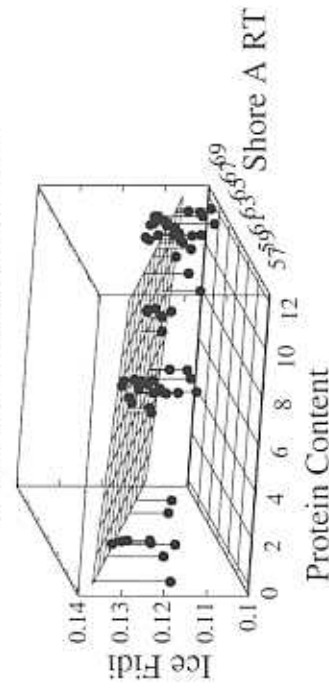
Interaction Plot for Ice Fidi



Main Effects Plot for Ice Fidi



Estimated Response Surface



Auswertung .../statg1999/107-121.s\*

**Ergebnisübersicht**  
Proteinhydrolysate in K-Blend -Silica-System

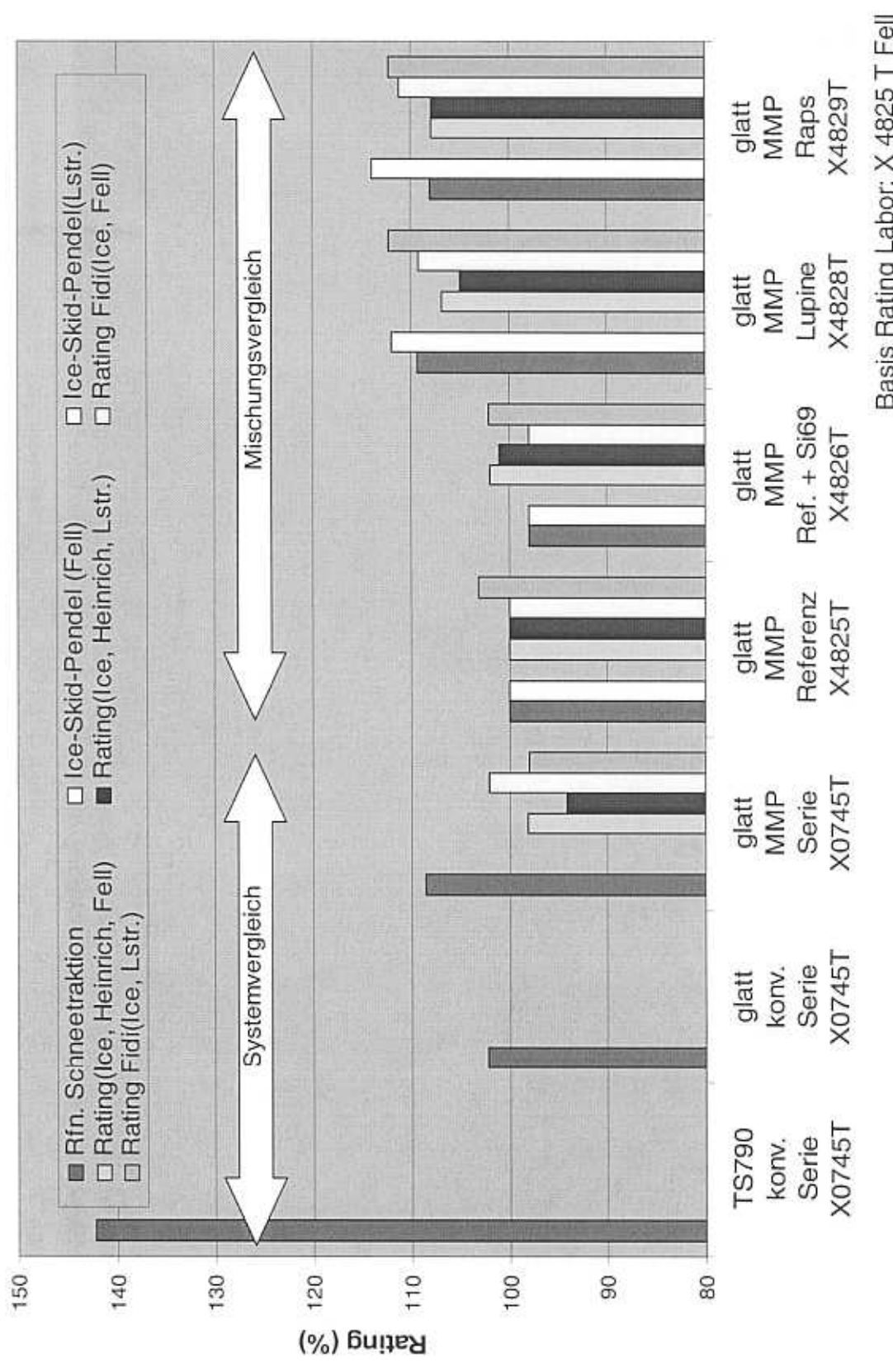
STAMMNR VAR ENR	185-1-1 X450	REF LUP1	185-1-3 LUP1	185-2-1 LUP1	185-2-2 LUP1	185-3-1 LUP1	185-3-2 LUP1	185-4-1 LUP1	185-4-2 LUP1	185-5-1 RAPS	185-5-2 RAPS	185-6-1 RAPS	185-6-2 RAPS	185-7-1 RAYS1	185-7-2 RAYS2	185-8-1 RAYS3	185-8-2 RAYS3
<b>NAME/BEZEICHNUNG</b>																	
TSR	20	50	<	<	<	<	<	<	<	<	<	<	<	<	<	<	<
HIGH CIS BEND 45	50	20	<	<	<	<	<	<	<	<	<	<	<	<	<	<	<
BUNA VSL 5025-0	-	30	<	<	<	<	<	<	<	<	<	<	<	<	<	<	<
BUNA VSL 5025-1	41,25	-	-	-	-	-	-	-	-	-	-	-	-	-	-	-	-
N.339	14	-	-	-	-	-	-	-	-	-	-	-	-	-	-	-	-
ACTIVE SILICA GRAN.	85	50	<	<	<	<	<	<	<	<	<	<	<	<	<	<	<
OIL	29	-	-	-	-	-	-	-	-	-	-	-	-	-	-	-	-
RAPESEED OIL	5	-	6	-	6	-	6	-	6	-	6	-	6	-	6	-	6
BPPD	2	<	<	<	<	<	<	<	<	<	<	<	<	<	<	<	<
OZONE PROTECTING WA	2	<	<	<	<	<	<	<	<	<	<	<	<	<	<	<	<
ZINC OXIDE	3	<	<	<	<	<	<	<	<	<	<	<	<	<	<	<	<
STEARIC ACID	2	<	<	<	<	<	<	<	<	<	<	<	<	<	<	<	<
FATTY ACID ESTERS	5	3	<	<	<	<	<	<	<	<	<	<	<	<	<	<	<
SILANE	6	3,5	<	<	<	<	<	<	<	<	<	<	<	<	<	<	<
CEN8463 RAPS PROTEIN/KONZENTR.	-	-	-	-	-	-	-	-	-	-	-	-	-	-	-	-	-
CEN8464 LUPINENISOLAT STAN	-	-	-	-	-	-	-	-	-	-	-	-	-	-	-	-	-
CEN8508 EH-09-5A LUPIN	-	-	-	-	-	-	-	-	-	-	-	-	-	-	-	-	-
CEN8569 EH-10-5B LUPIN	-	-	-	-	-	-	-	-	-	-	-	-	-	-	-	-	-
CEN8570 EH-09-2A RAPESEED	-	-	-	-	-	-	-	-	-	-	-	-	-	-	-	-	-
CEN8571 EH-09-7 RAPESEED	-	-	-	-	-	-	-	-	-	-	-	-	-	-	-	-	-
CEN8572 EH-09-2B RAPESEED	-	-	-	-	-	-	-	-	-	-	-	-	-	-	-	-	-
MBT	0,2	<	<	<	<	<	<	<	<	<	<	<	<	<	<	<	<
DPG	2	<	<	<	<	<	<	<	<	<	<	<	<	<	<	<	<
CBS	1,6	<	<	<	<	<	<	<	<	<	<	<	<	<	<	<	<
SOLUBLE SULFUR FINE	2,1	1,85	<	<	<	<	<	<	<	<	<	<	<	<	<	<	<
D(g/ml) =	1,196	1,141	1,132	1,155	1,146	1,155	1,146	1,146	1,155	1,146	1,157	1,15	1,155	1,146	1,155	1,146	1,146
<b>RHEOMETER</b>																	
MOR 2000 @ 160 °C	4,21	1,73	1,32	1,9	1,5	2	1,65	1,69	1,56	1,75	1,39	1,84	1,54	1,94	1,57	1,96	1,59
ML	22,54	20,57	18,18	21,58	18,29	23,41	19,76	21,54	18,84	18,89	17,63	22,54	18,72	22,38	19,57	22,28	20,41
MHF	18,33	18,84	16,85	19,68	16,79	21,41	18,11	19,65	17,28	17,14	16,24	20,7	17,18	20,44	18	20,32	18,82
MHF · ML	0,06	0,02	0,03	0,04	0,03	0,05	0,04	0,05	0,04	0,04	0,04	0,05	0,04	0,05	0,05	0,05	0,06
Tangents 100 °C	2,16	1,75	1,96	1,72	1,67	1,01	1,05	1,15	0,9	1,08	1,25	1,16	1,59	0,62	0,79	0,69	0,86
T50%	3,79	2,54	2,84	2,55	2,43	1,6	1,6	1,76	1,41	1,7	1,98	1,78	2,34	1,36	1,29	1,15	1,42
T95%	7,94	4,63	5,34	4,64	4,32	5,13	4,17	3,78	3,62	3,65	4,89	4,27	4,62	4,94	4,58	4,07	5,57
K30_90	0,719	1,283	1,068	1,303	1,405	1,05	1,299	1,459	1,508	1,107	1,254	1,222	1,044	1,127	1,338	0,924	
Optimal cure @ 160 °C	10	5	10	5	5	10	5	5	5	5	5	5	5	5	5	5	10
Density (g/ml)	1,208	1,141	1,135	1,148	1,141	1,149	1,141	1,149	1,148	1,144	1,149	1,14	1,143	1,149	1,149	1,142	1,142
Tensile Strength (MPa)	14,9	16,2	17,4	16	15,6	12,8	16,9	16,4	16	16,2	15,4	16,2	17,8	16,3	17,4	14,1	14,1
Elongation at Break (%)	614	490	519	500	545	343	542	521	518	503	544	453	559	502	514	476	416
M100% (MPa)	1,71	2,15	2,08	2,64	2,22	3,01	2,21	2,63	2,31	2,66	2,53	2,7	2,12	2,74	2,33	2,69	2,62
M200% (MPa)	3,62	5,07	5,09	5,45	4,56	7,15	5,03	5,92	5,2	5,54	5,18	6,01	4,58	6,17	5,35	6,33	6,26
M300% (MPa)	6,56	9,03	8,99	8,99	7,57	12,03	8,52	9,92	8,79	8,98	8,27	10,01	7,62	10,21	9,01	10,72	10,46
Energy at Break (J/ml)	37,7	31	35,4	32,7	33,7	18,4	36,9	34,3	33,2	36,3	28,9	35,8	36,9	34,3	34	24,8	
Hardness Shore A @ HT	66,1	66	63,5	67,7	63,8	70,5	64,5	66,8	64,2	66,6	64,4	66,7	64,5	68,8	66	67,7	66,8
Hardness Shore A @ RT	60,5	61,8	60,4	64,4	60,6	67,7	62,2	64,2	61,1	62,9	60,9	66,7	61	62,5	66,1	65,2	
Resilience @ RT (%)	31	48,7	50,6	47,8	50,5	50	51	50,1	52,8	49,5	48,1	50,4	51,6	50,3	49,3		
Resilience @ 70 °C (%)	44,4	62,7	63,3	62,5	63,7	62,5	62,3	64,5	64,8	64,9	64,1	63,7	62,9	63,6	61,7	59,7	
DIN Abrasion (mm)	86	116	109	134	150	143	136	146	133	145	138	136	146	138	136	136	120

CONTINUATION

CONFIDENTIAL

# EIVEICE - Reifenbau Ergebnisse ↔ Laborprognose

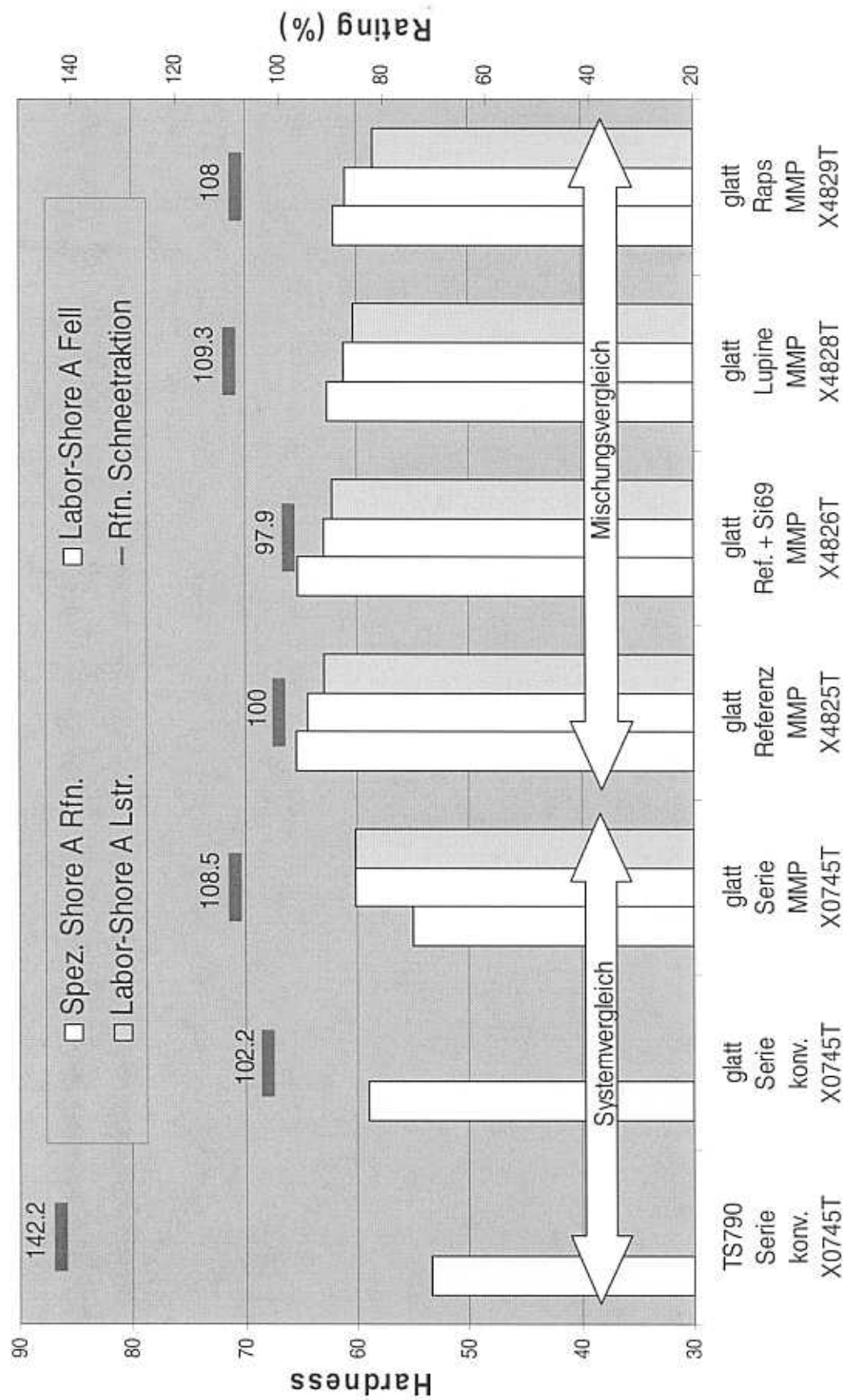
Anlage 26



Code-Nr.: fppr2003mtr306.ppt

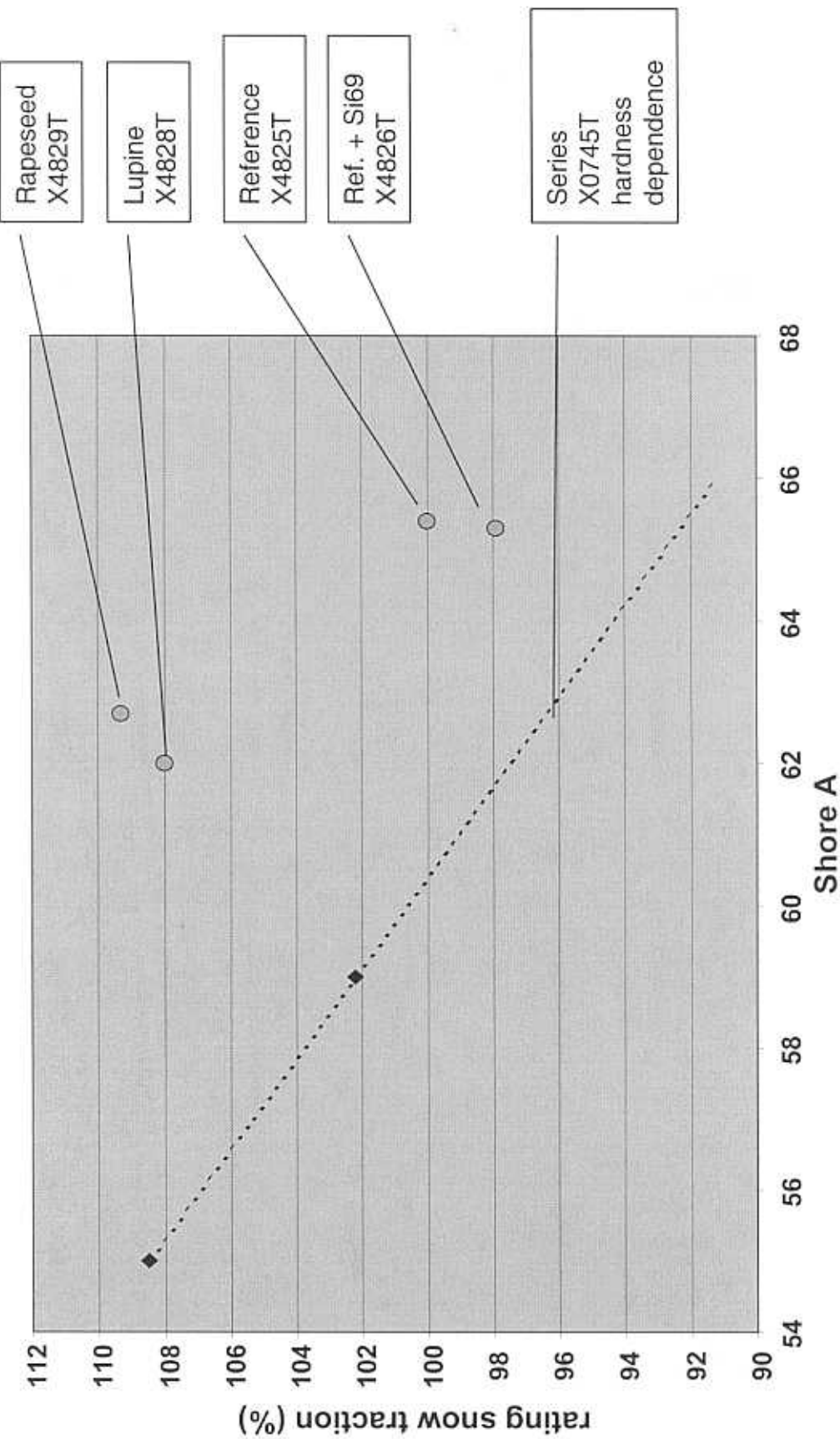
# EIVEICE - Reifenbau Ergebnisse

Anlage 27



# EIVEICE - Tire Test Results - Compound Comparison

Anlage 28



# Ergebnisübersicht

## Proteinhydrolysate in SSB-Ruß-System

STAMMNR VAR ENR	183-1-1 REF 1	183-1-2 REF 2	183-2-1 LUP1	183-2-2 LUP1	183-3-1 LUHY1	183-3-2 LUHY1	183-4-1 LUHY2	183-4-2 LUHY2	183-5-2 RAPS	183-5-1 RAPS	183-6-1 RAHY1	183-6-2 RAHY1	183-7-1 RAHY2	183-7-2 RAHY2	183-B-1 RAHY3	183-B-2 RAHY3
<b>NAME/BEZEICHNUNG</b>																
SSBR 25S/24V	100	<	<	<	<	<	<	<	<	<	<	<	<	<	<	
N 339	40	<	<	6	<	6	<	6	<	4.5	<	6	<	6	<	
RAPESEED OIL	-	3	<	3	<	3	<	3	<	3	<	3	<	3	<	
6PPD	1.5	<	<	<	<	<	<	<	<	<	<	<	<	<	<	
ZINC OXIDE	3	<	<	<	<	<	<	<	<	<	<	<	<	<	<	
STEARIC ACID	1.5	<	<	<	<	<	<	<	<	<	<	<	<	<	<	
SI 69	12	<	<	<	<	<	<	<	<	<	<	<	<	<	<	
2 @ CEN8463 RAPS PROTEINKONZENTR	-	-	-	-	-	-	-	-	-	-	-	-	-	-	-	
2 @ CEN8464 LUPINENISOLAT STAN	-	-	-	-	-	-	-	-	-	-	-	-	-	-	-	
2 @ CEN8568 EH09-5A LUPIN	-	-	-	-	-	-	-	-	-	-	-	-	-	-	-	
2 @ CEN8569 EH09-5B LUPIN	-	-	-	-	-	-	-	-	-	-	-	-	-	-	-	
2 @ CEN8570 EH09-2A RAPESEED	-	-	-	-	-	-	-	-	-	-	-	-	-	-	-	
2 @ CEN8571 EH09-7 RAPESEED	-	-	-	-	-	-	-	-	-	-	-	-	-	-	-	
2 @ CEN8572 EH09-2B RAPESEED	-	-	-	-	-	-	-	-	-	-	-	-	-	-	-	
DPG	0.5	<	<	<	<	<	<	<	<	<	<	<	<	<	<	
CBS	1.8	<	<	<	<	<	<	<	<	<	<	<	<	<	<	
SULFUR	1.8	<	<	<	<	<	<	<	<	<	<	<	<	<	<	
D(g/mL) =	1.113	1.104	1.120	1.12	1.129	1.12	1.129	1.12	1.131	1.124	1.129	1.12	1.129	1.12	1.12	
<b>RHEOMETER</b>																
MDR 2000 @ 160 °C	ML	1.94	1.58	2.26	1.82	2.06	1.71	2.12	1.72	2.03	1.74	2.16	1.75	1.97	2.09	
M-H	ML	22.17	18.83	25.18	20.72	21.7	17.08	22.98	19.46	21.9	19.77	22.97	19.12	19.5	20.82	
M-H + ML	ML	20.23	17.25	22.92	18.9	19.64	15.37	20.86	17.74	19.87	18.03	20.81	17.97	17.53	18.73	
tangens delta 100 °C	0.03	0.03	0.04	0.04	0.07	0.08	0.05	0.05	0.05	0.05	0.05	0.05	0.05	0.07	0.07	
T5%	1.75	1.94	1.8	2.01	1.44	1.49	1.43	1.56	1.62	1.55	1.5	1.69	1.13	1.51	1.03	
T10%	2.09	2.3	2.15	2.38	1.74	1.79	1.97	1.9	1.81	1.79	2	1.39	1.81	1.21	1.73	
T50%	2.85	2.97	3.11	2.47	2.46	2.43	2.52	2.56	2.46	2.48	2.67	2.67	2.55	2.75	2.37	
T95%	7.38	5.83	5.74	6.3	7.16	5.21	5.42	5.08	5.85	6.62	5.44	7.69	7.58	5.83	6.08	
K30_90	0.735	1.095	1.077	0.992	0.769	1.146	1.08	1.214	0.995	0.884	1.077	1.081	0.729	0.777	0.954	
Optimal cure @ 160 °C (min)	10	10	10	10	10	10	10	10	10	10	10	10	10	10	10	
Density (g/mL)	1.111	1.102	1.118	1.108	1.12	1.109	1.118	1.11	1.117	1.112	1.118	1.11	1.117	1.112	1.109	
Tensile Strength (MPa)	14.6	16.8	14.8	14.4	14.9	14.8	14.6	14.3	12.4	14.9	14.1	14.8	14.5	13.3	14	
Elongation at Break (%)	307	420	329	414	337	442	338	400	344	354	337	405	364	354	416	
M100% (MPa)	2.98	2.27	3.31	2.44	3.1	2.17	3.16	2.51	3.31	2.8	3.28	2.46	2.78	2.8	2.23	
M200% (MPa)	8.69	6.4	8.26	5.75	8.21	5.46	8	6.17	7.68	6.43	8.18	5.91	7.23	7.44	5.77	
M300% (MPa)	0	11.95	14.71	10.49	14.3	9.9	14.25	11.11	13.32	11.19	14.35	10.57	12.88	13.1	10.51	
Energy at Break (J/ml)	16.7	27.3	19.3	23.7	20.1	25.9	20	23.2	20.1	18.2	20.3	22.8	21.5	20.6	23.4	
Hardness Shore A @ RT	66.7	61.1	68.6	67	61.2	66.8	62.6	67.1	63.6	67.1	62.2	65.7	66.7	62.4	61	
Hardness Shore A @ 70 °C	63.2	59.2	66.8	61.8	66	59.2	65.9	60.9	66	61.8	66	60.2	63.4	62.9	60	
Resilience (%) @ RT	49.9	49.9	48.5	49.4	47.3	48.6	48.7	50.3	48.5	49	47.8	49.7	47.6	48.6	49.8	
Resilience (%) @ 70 °C	62.6	60	62.1	60.5	59.1	57.4	60.7	60.4	59.7	61.1	61.8	60.4	57.2	59.7	58.9	
DIN-Abrasion (mm²)	103	102	130	123	119	122	124	131	132	119	130	120	116	129	124	

STAMMNR VAR	35-1-1 REF 1	35-1-2 REF 2	35-2-1 LU	35-2-2 LU190	35-2-6 LU H	35-3-1 TR	35-3-2 TR	35-4 RA	35-4-4 RAL	35-4-5 RAM	35-4-6 RAH
SSBR 25S/24V	100	<	<	<	<	<	<	<	<	<	<
ACTIVE SILICA GRAN,	50	<	<	<	<	<	<	<	<	<	<
RAPESEED / CANOLA O	-	-	-	-	-	6	-	-	-	-	-
SPPD	2	<	<	<	<	<	<	<	<	<	<
OZONE PROTECTING WA	2	<	<	<	<	<	<	<	<	<	<
ZINC OXIDE INDIRECT	3	<	<	<	<	<	<	<	<	<	<
STEARIC ACID	2	<	<	<	<	<	<	<	<	<	<
SILQUEST A-1589 SIL	3.5	4.4	<	<	<	<	<	<	<	<	<
EH 09-24	-	-	-	-	-	-	-	-	-	-	-
EH09-12B	-	-	-	-	9	-	-	-	-	-	-
EH 09-22	-	-	-	-	-	-	-	-	-	-	-
EH 09-25	-	-	-	-	-	-	-	-	-	-	-
LUPINE 01041901	-	-	9	-	-	-	-	-	-	-	-
BIERTREBER	-	-	-	-	-	9.3	9	-	-	-	-
LUPINE 19 µm	-	-	-	9	-	-	-	-	-	-	-
RAPSKONZ. 01073101	-	-	-	-	-	-	-	9	-	-	-
Accel. 1	0.1	<	<	<	<	<	<	<	<	<	<
Accel. 2	2	<	<	<	<	<	<	<	<	<	<
Accel. 3	1.8	<	<	<	<	<	<	<	<	<	<
SULFUR	1.6	<	<	<	<	<	<	<	<	<	<
MDR 2000 @ 160 °C											
ML	2.04	1.93	2.17	2.12	2.06	1.67	2.08	2.01	2.16	2.11	2.11
MHF	21.98	23.28	24.69	23.8	25.57	16.61	19.54	23.32	25.87	25.77	25.15
MHF - ML	19.94	21.35	22.52	21.68	23.51	14.94	17.46	21.31	23.71	23.66	23.04
tangens δ @ 100 °C	0.04	0.03	0.04	0.05	0.04	0.07	0.07	0.05	0.05	0.05	0.05
T5%	2.71	3	2.55	2.37	1.17	0.91	0.77	2.21	1.54	1.31	1.16
T10%	3.42	3.76	3.16	2.94	1.36	1	0.85	2.57	1.82	1.53	1.34
T40%	4.61	4.88	4.13	3.85	1.84	1.32	1.15	3.19	2.38	2.04	1.81
T90%	7.47	7.89	6.78	6.36	12.04	9.85	8.95	6.94	9.88	10.53	11.36
T95%	8.96	9.57	8.23	7.77	16.91	15.92	14.63	10.24	14.65	15.17	16.08
T99R%	24.21	25.89	0	40.69	0	0	40.25	0	0	0	0
Curetime @ 160 °C	10	10	10	10	20	20	15	15	15	20	20
Density (g/cm³)	1.16	1.169	1.164	1.166	1.166	1.159	1.168	1.165	1.164	1.166	1.166
Tensile Strength (MPa)	14.3	15.2	13.1	14.8	14.3	14.1	13.5	16.3	15.3	14.5	13.2
Elongation at Break (%)	401	406	359	389	352	526	429	402	384	348	334
M (100 %) (MPa)	2.22	2.37	3.69	3.76	3.14	2.15	2.64	3.65	3.14	3.34	3.2
M (200 %) (MPa)	5.52	5.82	7.18	7.42	7.58	4.33	5.41	7.67	7.4	7.97	7.62
M (300 %) (MPa)	10.51	10.94	11.61	11.9	12.99	7.26	9.22	12.65	12.5	13.42	12.93
Energy at Break (J/cm²)	21.7	23.6	20.8	25.2	20.8	29.9	23.9	28.1	24.5	21.1	18.4
Hardness Shore A @ RT	63	64.8	70.7	70.5	69.8	63	66.8	70.2	69	69.3	69.4
Hardness Shore A @ 70 °C	62.1	63.9	69.8	69.6	67.6	59.7	64.9	68.5	67.2	67.8	67.
Resilience @ RT (%)	45.5	45	44.6	45.4	43.5	44.7	43.1	44.5	43.5	43.7	43.9
Resilience @ 70 °C (%)	59.5	59.2	59	59.6	56.9	53.8	55.6	59.5	58.1	57.4	58.5
Ice Rating Lab	100.0	101.6	99.5	100.1	100.6	101.2	95.9	99.5	100.8	101.5	99.1
DIN Abrasion (mm³)	121	116	149	152	122	102	119	139	128	125	137

STAMMNR VAR	19-1-1 REF 1	19-1-2 REF 2	19-2-1 LU190	19-2-2 LU190	19-3 LU 35	19-4-1 LU 80	19-5 LU265	19-6-1 LU	19-6-2 LU	19-7 TR
TSR	50	<	<	<	<	<	<	<	<	<
BR	20	<	<	<	<	<	<	<	<	<
VSL 5025-0	30	<	<	<	<	<	<	<	<	<
ACTIVE SILICA GRAN. RAPSEED / CANOLA O	50	<	<	-	6	-	-	-	6	<
BPPD	-	-	<	<	<	<	<	<	<	<
OZONE PROTECTING WA	2	<	<	<	<	<	<	<	<	<
ZINC OXIDE INDIRECT	3	<	<	<	<	<	<	<	<	<
STEARIC ACID	2	<	<	<	<	<	<	<	<	<
SILQUEST A-1589 SIL	3.5	4.4	<	<	<	<	<	<	<	<
LUPINE 01041901	-	-	-	-	-	-	-	9.3	-	-
LUPINE 26.5 µm	-	-	-	-	-	-	9	-	-	-
LUPINE 8 µm	-	-	-	-	-	9	-	-	-	-
LUPINE 3.5 µm	-	-	-	-	-	-	-	-	-	-
BIERTREBER	-	-	-	-	-	-	-	-	-	9.3
LUPINE 19 µm	-	-	9	9.3	-	-	-	-	-	-
Accel. 1	0.1	<	<	<	<	<	<	<	<	<
Accel. 2	2	<	<	<	<	<	<	<	<	<
Accel. 3	1.8	<	<	<	<	<	<	<	<	<
SULFUR	1.6	<	<	<	<	<	<	<	<	<
MDR 2000 @ 160 °C										
ML	2.17	2.26	2.6	2.16	2.6	2.59	2.54	2.61	2.24	2.08
MHF	21.22	22.91	23.79	19.92	24.05	23.68	22.99	23.72	20.45	16.58
MHF - ML	19.05	20.65	21.19	17.76	21.45	21.09	20.45	21.11	18.21	14.5
tangens δ @ 100 °C	0.04	0.04	0.05	0.05	0.05	0.05	0.05	0.05	0.05	0.06
T5%	1.21	1.29	1.07	1.1	1.04	1.03	1.09	1.08	1.35	0.61
T10%	1.52	1.64	1.34	1.36	1.28	1.27	1.34	1.34	1.7	0.69
T40%	2.02	2.17	1.8	1.81	1.69	1.71	1.78	1.81	2.22	0.89
T90%	3.25	3.66	3.12	3.14	3.01	2.95	3.09	3.07	3.61	2
T95%	3.9	4.46	3.85	3.95	3.81	3.65	3.82	3.77	4.36	3.13
T99R%	10.42	13.91	16.56	18.89	19.04	18.19	18.79	17.44	10.8	19.05
Curetime @ 160 °C	5	5	5	5	5	5	5	5	5	5
Density (g/cm³)	1.139	1.143	1.149	1.139	1.152	1.149	1.144	1.148	1.141	1.143
Tensile Strength (MPa)	15.2	16.5	15.6	15.1	14.8	14.7	15.1	14.9	14.4	14.9
Elongation at Break (%)	423	426	402	461	372	379	399	389	454	534
M (100 %) (MPa)	2.42	2.61	4.06	3.26	4.15	3.96	4.12	3.97	3.17	2.2
M (200 %) (MPa)	5.99	6.5	7.92	6.36	8.27	7.92	7.84	7.75	6.1	4.58
M (300 %) (MPa)	10.65	11.53	12.29	10.01	12.81	12.41	12.05	12.18	9.6	7.72
Energy at Break (J/cm²)	25.4	27.9	28.3	30.4	25.1	25	27.6	26	28.4	32.4
Hardness Shore A @ RT	63.9	66.7	71	67	71.1	70.2	70.8	70.9	67.1	62.5
Hardness Shore A @ 70 °C	63.4	64.4	70.3	66.7	70	69.6	69.2	69.8	66.7	59.8
Resilience @ RT (%)	55.6	52.7	55.7	56.5	55.4	56	56.2	55.9	56.5	52.2
Resilience @ 70 °C (%)	67.3	66.1	66.4	66.5	66	65.8	67.7	66.1	64.7	61.5
DIN Abrasion (mm²)	112	110	140	153	156	151	139	150	137	122
Ice Rating Lab	100.0	101.8	103.2	103.3	102.4	101.4	104.4	103.8	102.4	100.0

STAMMNR VAR	31-1-1 REF 1	31-1-2 REF 2	31-4-4 RA L	31-4-5 RA M	31-4-6 RA H	31-2-6 LU H
TSR	50	<	<	<	<	<
BR	20	<	<	<	<	<
VSL 5025-0	30	<	<	<	<	<
SILICA GRAN.	50	<	<	<	<	<
6PPD	2	<	<	<	<	<
OZONE PROTECTING WA	2	<	<	<	<	<
ZINC OXIDE INDIRECT	3	<	<	<	<	<
STEARIC ACID	2	<	<	<	<	<
Silan	3.5	4.4	<	<	<	<
EH 09-24	-	-	9	-	-	-
EH09-12B	-	-	-	-	-	9
EH 09-22	-	-	-	9	-	-
EH 09-25	-	-	-	-	9	-
Accel. 1	0.1	<	<	<	<	<
Accel. 2	2	<	<	<	<	<
Accel. 3	1.8	<	<	<	<	<
SULFUR	1.6	<	<	<	<	<
MDR 2000 @ 160 °C						
ML	2.46	2.5	2.81	2.85	2.84	2.78
MHF	21.47	22.26	23.6	23.46	22.28	22.52
MHF - ML	19.01	19.76	20.79	20.61	19.44	19.74
tangens δ @ 100 °C	0.03	0.03	0.04	0.04	0.04	0.04
T5%	1.37	1.37	0.82	0.83	0.75	0.78
T10%	1.69	1.72	1	1	0.89	0.92
T40%	2.25	2.27	1.35	1.34	1.19	1.23
T90%	3.56	3.83	3.86	3.91	3.57	4.2
T95%	4.26	4.74	6.39	6.61	6	6.9
T99R%	10.24	15.08	22.34	22.84	20.97	22.24
Curetime @ 160 °C	5	5	10	10	10	10
Density (g/cm³)	1.143	1.144	1.153	1.153	1.152	1.154
Tensile Strength (MPa)	13.2	18	13.8	15.4	15.6	16.1
Elongation at Break (%)	387	475	349	391	406	411
M (100 %) (MPa)	2.38	2.55	3.43	3.4	3.17	3.12
M (200 %) (MPa)	5.87	6.26	7.91	7.71	7.41	7.46
M (300 %) (MPa)	10.35	10.94	12.89	12.47	12.1	12.32
Energy at Break (J/cm³)	21.2	34.4	21.1	26	27.1	28.1
Hardness Shore A @ RT	63.6	65.5	68.2	68.1	67.5	68
Hardness Shore A @ 70 °C	62.6	63.7	67.8	67	66.5	66.7
Resilience @ RT (%)	57	56.8	55.6	56.1	56.8	55.1
Resilience @ 70 °C (%)	69.2	67.9	64.8	65.3	65.1	65.7
DIN Abrasion (mm³)	121	107	137	124	122	118
Ice Rating Lab	100.0	101.4	102.1	103.1	103.1	101.3

STAMMNR VAR ENR	37-1-1 Ref.	37-1-2	37-2 LU	37-3 RA	37-4 LU190	37-5 LU H	37-6 TR	37-7 CAS	37-8 LUTER	37-9 MAT A
TSR	30	<	<	<	<	<	<	<	<	<
BR	40	<	<	<	<	<	<	<	<	<
SSBR 25S/50V HM	30	<	<	<	<	<	<	<	<	<
N 339	14	<	<	<	<	<	<	<	<	<
SILICA	87	78	<	<	<	<	<	<	<	<
Softener 1	32	29	<	<	<	<	<	<	<	<
Softener 2	10	<	<	<	<	<	<	<	<	<
BPPD	2	<	<	<	<	<	<	<	<	<
OZONE PROTECTING WAX	2	<	<	<	<	<	<	<	<	<
ZINC OXIDE INDIRECT	3	<	<	<	<	<	<	<	<	<
STEARIC ACID	2	<	<	<	<	<	<	<	<	<
AKTIPLAST ST	5	<	<	<	<	<	<	<	<	<
Silan	7.4	6.6	7.4	<	<	<	<	<	<	<
EH09-12B	-	-	-	-	-	13	-	-	-	-
MATER-BIA	-	-	-	-	-	-	-	-	-	13
LUPINE 01041901	-	-	13	-	-	-	-	-	-	-
CASEINAT GRANULAT	-	-	-	-	-	-	-	13	-	-
PROTEIN/ZELLULOSE	-	-	-	-	-	-	-	-	-	-
BIERTREBER	-	-	-	-	-	-	13	-	-	-
LUPINE 19 UM	-	-	-	-	13	-	-	-	-	-
RAPSKONZ. 01073101	-	-	-	13	-	-	-	-	-	-
Accel. 1	0.1	<	<	<	<	<	<	<	<	<
Accel. 2	2	<	<	<	<	<	<	<	<	<
Accel. 3	1.8	<	<	<	<	<	<	<	<	<
SULFUR	1.6	<	<	<	<	<	<	<	<	<
D(g/cm³) =	1.192	1.18	1.192	<	<	<	<	<	<	<
MDR 2000 @ 160 °C										
ML	1.97	1.68	2.04	1.74	2.04	1.62	1.7	2.11	1.76	1.67
MHF	15.94	15.32	17.16	16.08	16.81	17.25	13.45	16.57	17.62	19.42
MHF - ML	13.97	13.64	15.12	14.34	14.77	15.63	11.75	14.46	15.86	17.75
tangens δ @ 100 °C	0.06	0.05	0.05	0.05	0.06	0.05	0.09	0.06	0.04	0.04
T5%	1.2	2.05	1.78	1.59	1.77	0.89	1	1.36	1.69	1.34
T10%	2.49	3.01	2.4	1.92	2.27	1.09	1.16	1.72	2.23	1.75
T40%	4.16	4.3	3.37	2.52	3.05	1.49	1.74	2.38	3.09	2.51
T90%	6.94	6.78	5.85	5.89	5.35	5.8	10.26	5.21	6.82	8.29
T95%	8.49	8.14	7.22	7.95	6.63	8.29	16.38	6.89	9.34	11.44
T99R%	19.32	17.96	17.31	24.46	20.64	21.11	59.31	22.38	29.46	29.24
Curetime @ 160 °C	10	10	10	10	10	10	20	10	10	15
Density (g/cm³)	1.197	1.184	1.189	1.188	1.19	1.19	1.191	1.188	1.187	1.188
Tensile Strength (MPa)	13.1	14.4	12.8	13.2	12.5	13.1	10.5	14.4	12.6	13.6
Elongation at Break (%)	670	667	546	562	518	558	658	561	542	511
M (100 %) (MPa)	1.43	1.53	2.73	2.6	2.84	2.02	1.47	2.48	2.56	2.38
M (200 %) (MPa)	3.12	3.41	5.01	5.04	5.25	4.57	2.85	5.17	4.73	5.4
M (300 %) (MPa)	5.35	5.86	7.51	7.66	7.86	7.35	4.6	8.2	7.27	8.68
Energy at Break (J/cm²)	36.7	39.8	32.4	34.7	30.5	32.4	30.1	36.7	31.1	31.5
Hardness Shore A @ RT	60.4	60.2	67.5	66.7	67.5	66	60.5	66.9	68.1	66.9
Hardness Shore A @ 70 °C	57.1	55.6	63.6	61.9	64.2	61.4	54.5	63.1	63.3	63.3
Resilience @ RT (%)	32.2	35	36.7	37.3	37.1	35.5	31.1	35.7	36.4	35.4
Resilience @ 70 °C (%)	42.3	47	48	47.7	47.9	44.7	38	45.9	48.1	46.5
Ice Rating Lab	100.0	96.4	100.7	101.2	101.6	102.1	96.0	99.9	103.1	99.4
DIN Abrasion (mm²)	103	103	159	127	144	97	131	101	134	97

**EIVEICE**  
2nd Tire Test - Compound Data

	X5656T Ref. 1	71-1-1 X5348	71-1-2 X5349	71-1-3 X5350	T5208 Ref. 2	71-2-1 X5352	71-2-2 X5353
NR	30	<	<	<	35	<	<
BR	40	<	<	<	25	<	<
SSBR	30	<	<	<	40	<	<
Carbon Black	14	<	<	<	75	73	<
Silica	87	80	<	<	25	23	<
Softener 1	32	39	37	<	-	-	-
Softener 2	-	-	-	-	40	45	<
Softener 3	10	12	<	<	10	12	<
Processing Aid, Anti Ageing	9	<	<	<	4	<	<
Zink Oxide	3	3	<	<	3	<	<
Stearic Acid	2	2	<	<	1.5	<	<
Silane	7.4	7.4	<	<	2.1	3.2	<
Lupine Isolate	-	-	-	-	-	13	-
Rapeseed Concentrate	-	13	-	-	-	-	-
Lupine Isolate, hydrolysated	-	-	-	13	-	-	13
Rapeseed Concentrate, hydrolysated	-	-	13	-	-	-	-
Accelerator	3.8	<	<	<	2	3.8	<
Sulfur	1.6	<	<	<	1.7	1.6	<
MDR 2000 @ 160 °C							
ML	2.18	1.15	1.34	1.29	2.82	2.11	2.09
MHF	14.26	11.19	11.94	14.24	11.7	11.82	10.56
MHF - ML	12.08	10.04	10.6	12.95	8.88	9.71	8.47
tangens δ @ 100 °C	0.07	0.07	0.08	0.06	0.11	0.09	0.11
T5%	2.14	1.53	0.61	0.85	1.92	0.79	0.81
T10%	2.64	1.83	0.73	1.17	2.34	0.95	0.95
T40%	3.66	2.48	1.08	1.6	3.3	1.35	1.32
T90%	6.56	5.43	3.73	3.95	6.23	2.57	2.95
T95%	7.85	6.84	5.65	5.21	7.37	3.34	4.13
T99R%	16.86	0	17.42	16.43	14.62	22.04	25.17
Mooney ML 1+3 (100 °C)	57.5	33.4	33.4	33	63.4	46	44.4
opt. Curetime @ 160 °C	10	10	7	7	10	7	7
Density (g/cm³)	1.201	1.178	1.18	1.181	1.154	1.143	1.145
Tensile Strength (MPa)	11.9	10.4	10.1	11.5	12	11.7	11.2
Elongation at Break (%)	587	596	666	622	547	453	536
M (100 %) (MPa)	1.46	1.79	1.08	1.4	1.31	1.93	1.3
M (200 %) (MPa)	3.15	3.49	2.34	3.17	3.12	4.47	3.26
M (300 %) (MPa)	5.55	5.41	4.13	5.4	6.01	7.83	6.15
Energy at Break (J/cm³)	28.8	28	28.3	30.6	26.1	21.9	24.7
Hardness Shore A @ RT	60.4	58.8	56.9	61	56.3	59.6	56.5
Hardness Shore A @ 70 °C	54.2	53.7	51.2	55.6	51.1	55.9	51
Resilience @ RT (%)	31	33.2	30.9	31.2	26.5	29.3	27.2
Resilience @ 70 °C (%)	42.6	43.9	38	41.5	35.3	39.1	34.1
DIN-Abrasion (mm³)	135	243	137	98	124	170	142
Ice Prediction Lab	100.0	101.2	98.7	97.0	94.0	95.9	95.5
Curetime @ 160 °C	20	20	20	20	20	20	20
Density (g/cm³)	1.2	1.177	1.181	1.181	1.154	1.144	1.145
Tensile Strength (MPa)	12.7	11.4	10.3	12.4	12.2	11.6	11.9
Elongation at Break (%)	602	604	634	623	547	431	471
M (100 %) (MPa)	1.46	1.9	1.09	1.42	1.31	2.02	1.55
M (200 %) (MPa)	3.16	3.74	2.38	3.24	3.06	4.7	4.1
M (300 %) (MPa)	5.61	5.86	4.31	5.64	5.95	8.25	7.65
Energy at Break (J/cm³)	31.1	31.1	26.8	32.5	26.2	20.6	22.8
Hardness Shore A @ RT	59.4	59.6	57.1	55.6	61.5	59.1	57.7
Hardness Shore A @ 70 °C	54.9	55.7	52.2	51.9	57.1	56.2	54.1
Resilience @ RT (%)	31.6	34.6	30.8	26.6	32.1	29.5	27.6
Resilience @ 70 °C (%)	40.3	41.9	35.8	32.4	39.1	37.3	35.3
DIN-Abrieb (mm³)	93	161	96	77	128	116	113
Ice Prediction Lab	100.0	99.6	96.2	96.5	91.1	94.2	93.3
Grosch-Abrasion (mm/1000 km)							
E(Friction) = 1 kJ/km	0.8	1.29	0.97	0.89	0.66	1.08	0.74
E(Friction) = 2 kJ/km	1.57	2.64	1.76	1.73	1.23	2.23	1.35
E(Friction) = 4 kJ/km	3.73	6.47	3.63	4.03	2.52	5.14	2.77

## EIVEICE

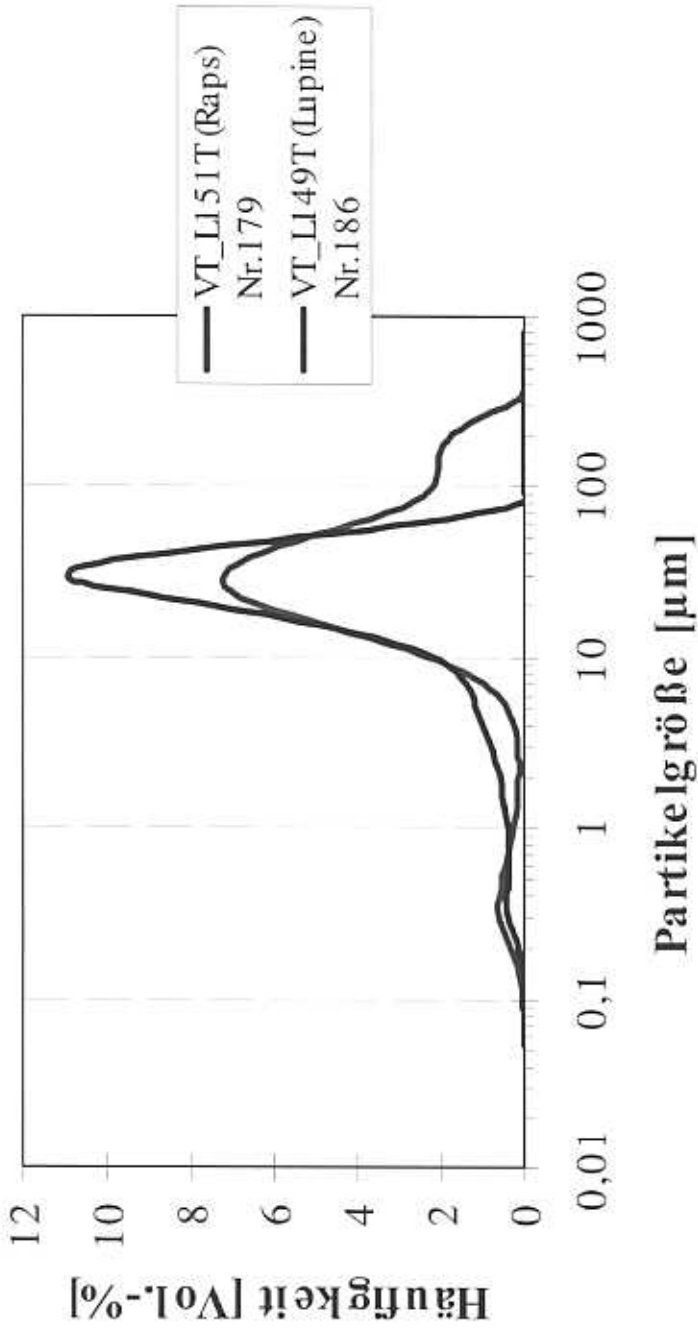
## 2nd Tire Test - Tire Results

	5656T Ref 1	71-1-1 X5348	71-1-2 X5349	71-1-3 X5350	T5208 Ref. 2	71-2-1 X5352	71-2-2 X5353
Rating		Raps	Raps hydrolys.	Lupine hydrolys.		Lupine	Lupine hydrolys.
Shore A	60.4	58.8	56.9	61	56.3	59.6	56.5
Eigenschaften auf Schnee	99	103	104	102	100	102	103
Eigenschaften auf Eis	96	91	96	100	100	102	100
ABS naß (Asphalt)	99	94	96	92	100	95	100
ABS naß (Beton)	103	99	99	98	100	99	99
Abrieb, angetriebene Achse	100		95	87			
Abrieb, mitlaufende Achse	100		112	85			
Abrieb, angetriebene Achse	100				94		84
Abrieb, mitlaufende Achse	100				89		83

Rating: Werte &gt; 100 sind besser

## EIVEICE - 2<sup>nd</sup> Tire Test - Protein Particle Sizes

Anlage 36



Versuch	$D_{10}$	$D_{50}$	$D_{90}$
L149	4,11 $\mu\text{m}$	25,03 $\mu\text{m}$	46,80 $\mu\text{m}$
L151	7,87 $\mu\text{m}$	29,92 $\mu\text{m}$	120,48 $\mu\text{m}$

Anmerkung: Das Protein wurde in 1-Butanol dispergiert. Alle Messungen einer Probe ergaben deckungsgleiche Kurven, weshalb nur eine Datenserie für obige Darstellung verwendet wurde.

	15-1-1 REF	15-1-2 REF 1	15-2 MAT A	15-3 MAT Y	15-4 AC-ST	15-5 TP-ST	15-6-1 ST	15-6-2 ST	15-7-1 INU	15-7-2 INU
NR	10	<	<	<	<	<	<	<	<	<
SBR	61.875	<	<	<	<	<	<	<	<	<
SBR	61.875	<	<	<	<	<	<	<	<	<
N234	80	60	<	<	<	<	<	<	<	<
Softener	2.5	<	<	<	<	<	<	<	<	<
Polyethylenglykol	-	-	-	-	-	-	-	4.8	-	4.8
6PPD	1.15	<	<	<	<	<	<	<	<	<
ZINC OXIDE INDIRECT	4	<	<	<	<	<	<	<	<	<
STEARIC ACID	2	<	<	<	<	<	<	<	<	<
X 50 S	-	5	<	<	<	<	<	<	<	<
HP-INULIN	-	-	-	-	-	-	-	-	12	7.2
MAISSTAERKEMEHL	-	-	-	-	-	-	12	7.2	-	-
ACETYLIERTE STÄRKE	-	-	-	-	12	-	-	-	-	-
STÄRKEGRANULAT	-	-	-	-	-	12	-	-	-	-
MATER-BI Y	-	-	-	12	-	-	-	-	-	-
MATER-BI A	-	-	12	-	-	-	-	-	-	-
CBS	2.5	<	<	<	<	<	<	<	<	<
SULFUR	1.3	<	<	<	<	<	<	<	<	<
MDR 2000/160 degree Celcius										
ML	3.45	2.19	2.16	2.21	2.11	2.04	2.29	2.19	2.16	2.39
MHF	16.17	14.97	14.4	15.34	14.22	13.97	15.69	14.08	12.15	10.84
MHF - ML	12.72	12.78	12.24	13.13	12.11	11.93	13.4	11.89	9.99	8.45
tangens delta 100'C	0.09	0.06	0.08	0.07	0.1	0.07	0.06	0.06	0.09	0.07
T5%	2.69	2.63	2.41	2.96	3.08	2.24	2.76	1.44	2.37	1.09
T10%	3.87	3.59	3.27	3.89	4.17	3.02	3.63	1.88	3.2	1.34
T40%	5.18	5.19	4.68	5.42	6.02	4.42	5.12	2.95	4.48	2.03
T90%	8.14	12.21	10.62	12.12	12.48	12.38	11.51	10.08	8.93	4.46
T99R%	19.52	0	81.52	0	0	0	79.5	88.29	74.43	0
K30_90	0.62	0.284	0.336	0.293	0.297	0.258	0.305	0.294	0.428	0.814
MAX. TORQUE REACHED?	J	J	J	J	J	J	J	J	J	J
Optimal cured										
Curetime 160 Grad C	10	20	20	20	20	20	20	20	15	10
Density (G/CM3)	1.163	1.136	1.144	1.144	1.143	1.143	1.148	1.143	1.148	1.145
Tensile Strength (MPa)	19.5	19.9	18.4	15.6	13.9	16.7	18.1	17.9	18.1	18.2
Elongation at Break (%)	536	529	496	474	458	478	514	529	576	524
M100% (MPa)	1.89	1.88	2.32	1.99	1.63	2.08	2.04	1.74	1.82	1.7
M200% (MPa)	5.06	5.29	6.29	4.83	4.23	5.36	5	4.64	4.71	4.72
M300% (MPa)	10.18	10.3	10.88	9.24	8.49	10.02	9.73	9.08	8.49	9.35
Energy at break	41.3	40.7	37.3	28.6	24.1	31.5	36.2	36.2	41.6	36.5
Hardness Shore A	63.4	59.7	62.8	62.8	60.1	62	61.3	58.7	60.1	57.4
Hardness Shore A - 70 Grad C	58.8	57.1	58.4	57.4	57.1	57.8	57.3	54.2	56.7	53.1
Resilience (%)	23.7	31.5	30.7	31.1	30.4	30.3	31.6	30.7	31.3	31.7
Resilience (%) - 70 Grad C	37.1	48.5	45.2	46.9	44.8	44.8	45.7	43.4	43.6	44.3
Ice-Rating Lab	91.8	100.0	97.1	98.5	99.3	98.5	98.4	97.1	99.0	102.9

STAMMNR VAR	17-1 X5443	17-2 MAT A	17-3 MAT Y	17-4 TP ST	17-5 AC ST	17-6 ST	17-7 INU	17-8 KR
NR	20	<	<	<	<	<	<	<
BR	50	<	<	<	<	<	<	<
SSBR	30	<	<	<	<	<	<	<
N 339	14	<	<	<	<	<	<	<
ACTIVE SILICA	87	72	<	<	<	<	<	<
Softener	31	<	<	<	<	<	<	<
Softener	10	<	<	<	<	<	<	<
6PPD	2	<	<	<	<	<	<	<
OZONE PROTECTING WAX	2	<	<	<	<	<	<	<
ZINC OXIDE	3	<	<	<	<	<	<	<
STEARIC ACID	2	<	<	<	<	<	<	<
Processing Aid	5	<	<	<	<	<	<	<
Silan	7.4	<	<	<	<	<	<	<
HP-INULIN	-	-	-	-	-	-	15	-
MAISSTAERKEMEHL	-	-	-	-	-	15	-	-
ACETYLIerte STÄRKE	-	-	-	-	15	-	-	-
STÄRKEGRANULAT	-	-	-	15	-	-	-	-
MATER-BI Y	-	-	15	-	-	-	-	-
MATER-BI A	-	15	-	-	-	-	-	-
Kreide	-	-	-	-	-	-	-	15
Accelerators	3.9	<	<	<	<	<	<	<
SULFUR	1.6	<	<	<	<	<	<	<
MDR 2000/160 degree Celcius								
ML	2.21	1.32	1.08	1.18	1.33	1.4	1.21	1.37
MHF	17.81	18.77	15.15	15.38	13.77	16.51	14.36	15.73
MHF - ML	15.6	17.45	14.07	14.2	12.44	15.11	13.15	14.36
tangens delta 100'C	0.07	0.04	0.05	0.04	0.07	0.05	0.06	0.05
T5%	0.86	1.41	2.35	1.89	2.4	2.17	1.49	2.14
T10%	2.19	1.83	2.84	2.43	3.02	2.82	1.72	2.78
T40%	4.03	2.6	3.7	3.37	4.06	3.82	2.16	3.75
T90%	6.84	7.74	7.81	7.97	7.05	6.46	4.4	6.19
T99R%	21.04	29.23	0	0	0	21.59	19.66	19.42
K30_90	0.682	0.378	0.475	0.429	0.644	0.737	0.876	0.795
MAX. TORQUE REACHED?	J	J	J	J	J	J	J	J
Optimal cured								
Curetime 160 Grad C	10	15	15	15	10	10	10	10
Density (G/CM3)	1.19	1.168	1.154	1.169	1.169	1.174	1.175	1.196
Tensile Strength (MPa)	9.9	10.1	9.7	10.4	11.3	10	9.3	10.4
Elongation at Break (%)	548	366	466	447	533	479	504	518
M100% (MPa)	1.38	2.35	1.99	1.94	1.71	1.74	1.59	1.51
M200% (MPa)	2.87	5.37	3.83	4.34	3.73	3.89	3.64	3.24
M300% (MPa)	5.05	8.89	6.28	7.3	6.35	6.24	5.97	5.68
energy at brake	22.4	16	19.5	20.1	25.8	20.4	21.1	22.1
Hardness Shore A	60.9	66.7	63	64	61.7	61.4	58.9	59.2
Hardness Shore A - 70 Grad C	57.1	62.5	59.7	60.7	58.2	57.2	54.4	55.8
Resilience (%)	33.4	39.3	42.1	38	38	39.2	39.8	38.9
Resilience (%) - 70 Grad C	42.3	47.6	49.1	45.7	45.4	49.4	48.1	48.8
Ice Prediction Lab	100.0	100.1	105.1	101.1	103.6	105.5	106.7	107.0